

Тестирование модели уравнения состояния плотных, реагирующих газов

Институт гидродинамики им. М.А. Лаврентьева СО РАН
Прууэл Э.Р.

25 февраля 2022 г.

Аннотация

Программный комплекс позволяет проводить расчеты равновесных термодинамических параметров плотных газов и флюидов с учетом межмолекулярных взаимодействий. Протестированный диапазон параметров составляет по температуре – от 100 до 10 000 К и до давления 100 ГПа. Базовыми параметрами для задания условий являются плотность, температура и химический элементный состав исследуемой смеси. Для этих условий вычисляется равновесный химический состав, внутренняя энергия, теплоемкости, показатель адиабаты и скорость звука. В расчетах учтена возможность образования следующих химических компонент: *Ar*, *Ne*, *He*, *Kr*, *N₂*, *N*, *O₂*, *O*, *H₂*, *H*, *H₂O*, *OH*, *NH₃*, *CO*, *CO₂*, *CH₄*, *NH₃*, *NO* и конденсированной фазы углерода.

Для построения уравнения состояния используются методы молекулярной динамики и статистической физики. При этом, вещество рассматривается как набор точечных объектов (молекул) взаимодействующих с центральным парным потенциалом в форме *exp(-r/r₀)*. Дополнительно молекулы обладают внутренними степенями свободы, энергия которых зависит только от температуры. Для определения давления и полной энергии системы численно решается задача движения небольшого ансамбля частиц (NVT ансамбль из 50-100 молекул), при этом внутренняя энергия системы вычисляется как суммы кинетических энергий молекул и потенциальной энергии взаимодействия, давление вычисляется по Теореме о вириале. Подбор параметров парных потенциалов взаимодействия осуществлялся из условий наилучшего соответствия экспериментальным данным: таблицам термодинамическим величин Американского института стандартов, ударным адиабатам сжиженных газов и параметрам детонационным конденсированных взрывчатых материалов.

Программный комплекс позволяет определять равновесные термодинамические параметры смесей газов при заданной плотности и температуре, рассчитывать ударные и детонационные адиабаты. Для построения ударной адиабаты, численно решается нелинейное уравнение Гюгонио в переменных плотность и температура, при этом, все необходимые параметры (давление и удельная внутренняя энергия) вычисляются описанным выше методом. Параметры детонации определяются из условий Чепмена-Жуге - на ударной адиабате с энерговыделением находится точка с условиями $D=u+c$, где D - скорость фронта, u - массовая скорость, c - равновесная скорость звука.

Программный комплекс позволяет проводить удаленные вычисления в сети интернет по адресу <http://ancient.hydro.nsc.ru/chem>.

Содержание

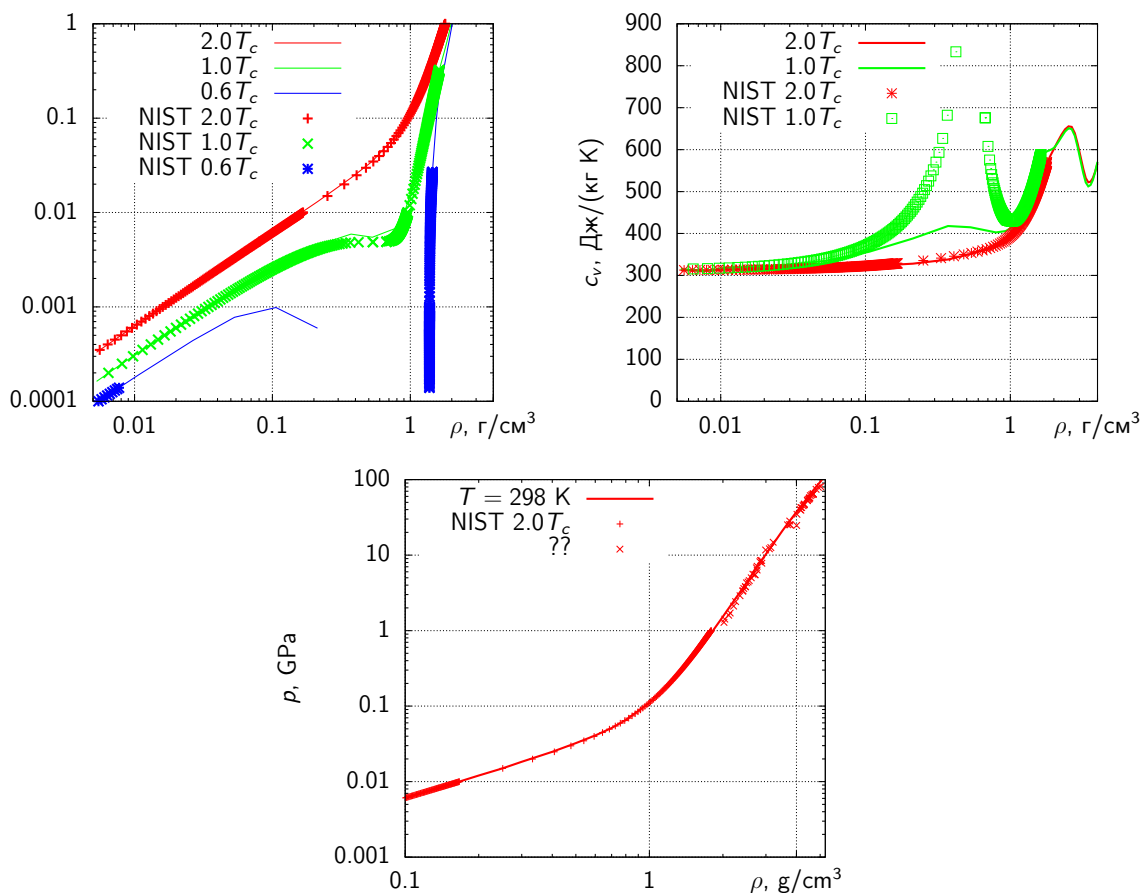
| | | |
|----------|---|-----------|
| 1 | Выбор параметров потенциала | 3 |
| 2 | Однокомпонентные смеси | 3 |
| 2.1 | Ar | 3 |
| 2.2 | Kr | 4 |
| 2.3 | Xe | 5 |
| 2.4 | H ₂ | 6 |
| 2.5 | N ₂ | 7 |
| 2.6 | O ₂ | 8 |
| 2.7 | CO | 9 |
| 2.8 | CO ₂ | 10 |
| 2.9 | H ₂ O | 11 |
| 2.10 | CH ₄ | 11 |
| 2.11 | NH ₃ | 12 |
| 2.12 | Al | 13 |
| 2.13 | Mg | 14 |
| 2.14 | Sn | 14 |
| 2.15 | Fe | 15 |
| 3 | Продукты детонации конденсированных вв | 17 |
| 3.1 | Аммиачная селитра | 17 |
| 3.2 | Эмульсионное вв | 19 |
| 3.3 | Тэн | 21 |
| 3.4 | Гексоген | 23 |
| 3.5 | Октоген | 25 |
| 3.6 | Тротил | 27 |
| 3.7 | Тетрил | 29 |
| 3.8 | Тротил/гексоген | 31 |
| 3.9 | Гексонитростильбент | 33 |
| 3.10 | Татб | 35 |
| 3.11 | Нм | 37 |
| 3.12 | Тнм | 39 |
| 3.13 | Бтф | 41 |
| 3.14 | ДНТФ | 43 |
| 3.15 | CL-20, ГНИВ, HNIW | 45 |
| | Список литературы | 46 |

1 Выбор параметров потенциала

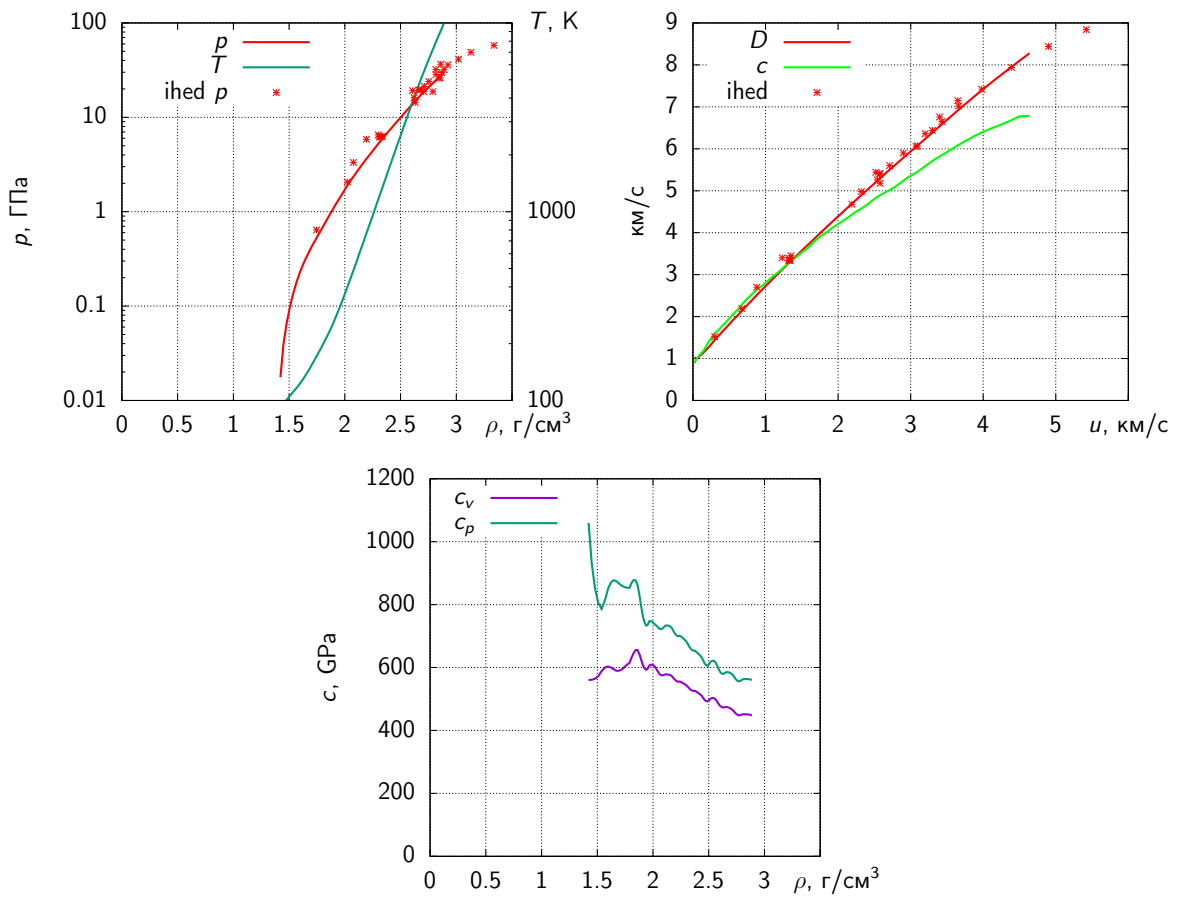
| | Критическая точка | | | | | Кипение | |
|-------------------------------|-------------------|----------|-----------------------|----------------------|-------------------|---------|-------------------|
| | Ткр, К | Ркр, МПа | дм ³ /моль | моль/дм ³ | кг/м ³ | Тпл | кг/м ³ |
| He | 5.19 | 0.2274 | 0.05747 | 17.4 | 69.6 | | |
| Ne | 44.4 | 2.654 | 0.0417 | 23.98 | 479 | | |
| Ar | | | | | | | |
| Kr | | | | | | | |
| Xe | | | | | | | |
| H ₂ | 33 | 1.3 | 0.065 | 15.38 | 30.8 | | |
| N ₂ | | | | | | | |
| O ₂ | 154.576 | 5.043 | 0.0734 | 13.624 | 436 | 90.19 | 1141 |
| CO | 132.91 | 3.499 | 0.0931 | 10.7411 | 300.8 | | |
| CO ₂ | 304.20 | 7.383 | 0.0940 | 10.6383 | 468.1 | | |
| CH ₄ | 190.555 | 4.595 | 0.0989 | 10.1112 | 162.2 | | |
| H ₂ O | 647.13 | 22.06 | 0.0559 | 17.89 | 322 | | |
| C | 6810 | 223 | 0.0188 | 53.1915 | 638.9 | | |
| C ₂ H ₂ | 308.33 | 6.138 | 0.1197 | 8.35422 | 217.5 | | |

2 Однокомпонентные смеси

2.1 Ar

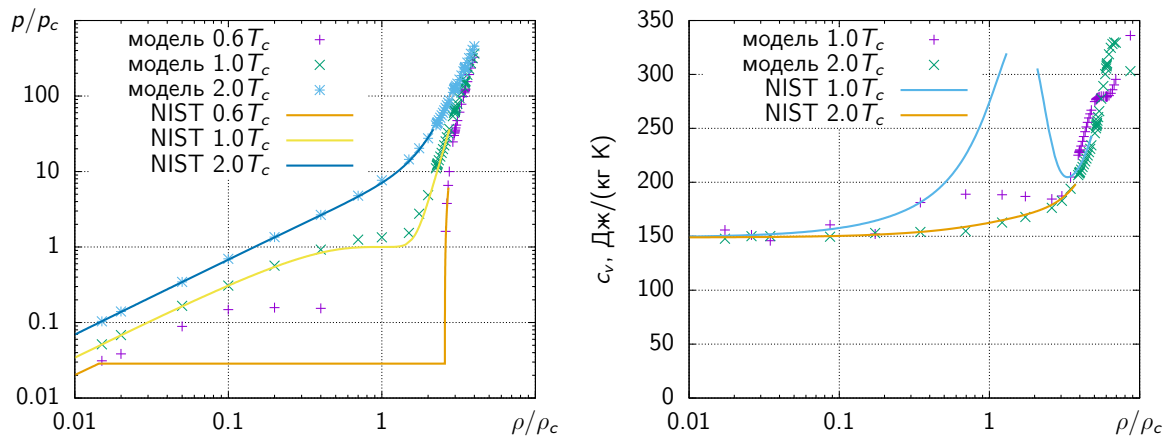


Изотермы Ar. $T_c = 150.6$ К, $p_c = 4.86$ МПа, $\rho_c = 531$ кг/м³.

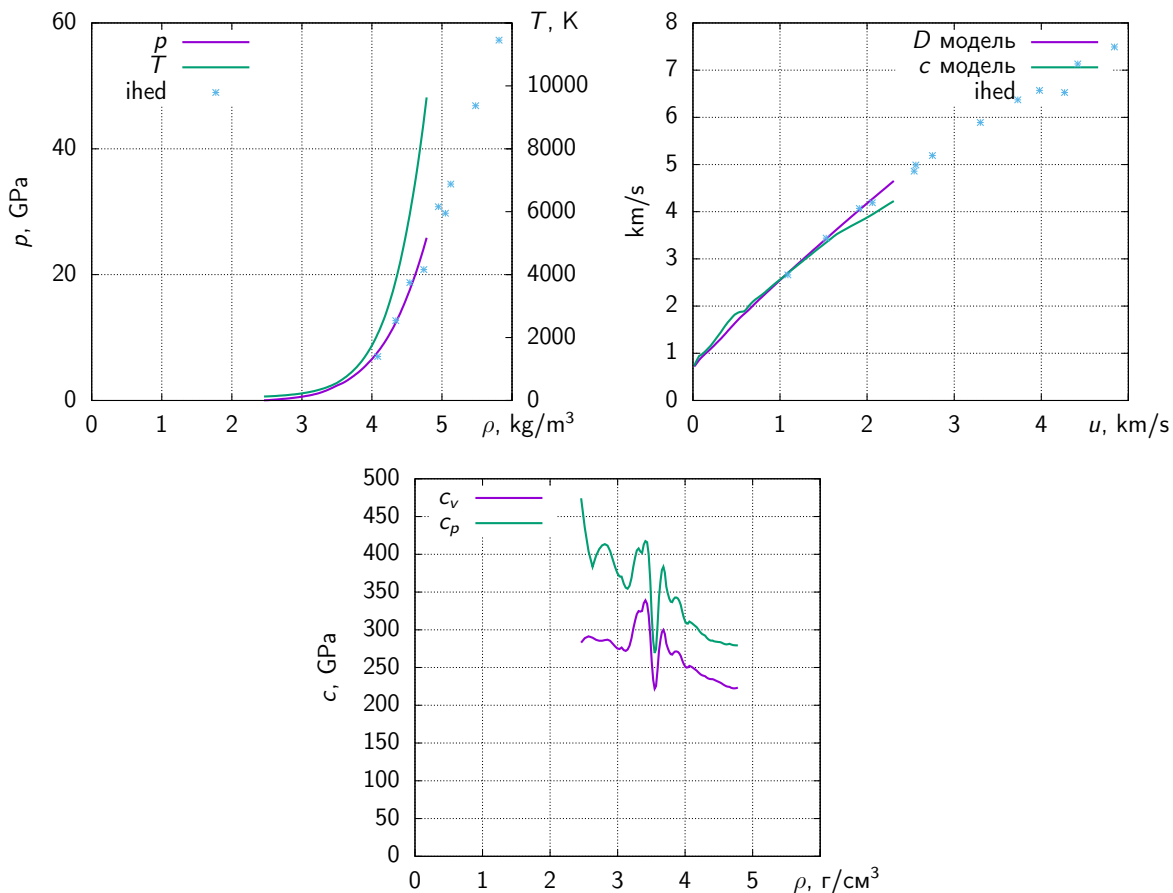


Ударная адиабата Ar . $\rho_0 = 1395$ кг/м³, $T_0 = 83.8$ К.

2.2 Kr

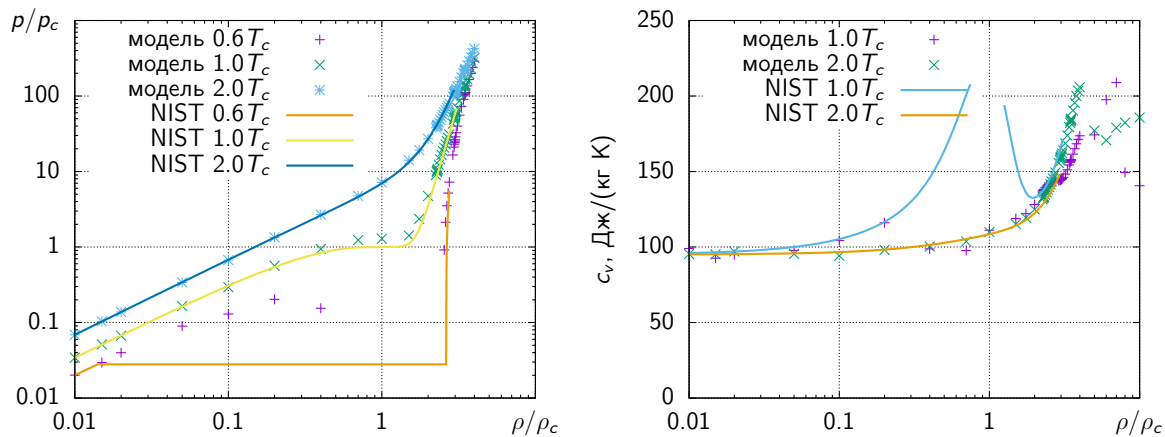


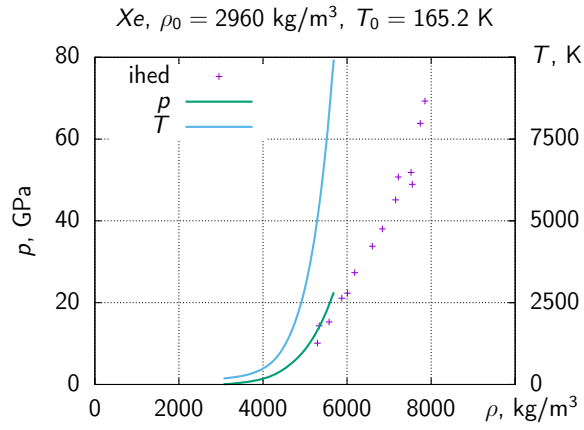
Изотермы Kr . $T_c = 209.46$ К, $p_c = 5.52019$ МПа, $\rho_c = 921.8$ кг/м³.



Ударная адиабата Kr. $\rho_0 = 2410$ кг/м³, $T_0 = 119$ К.

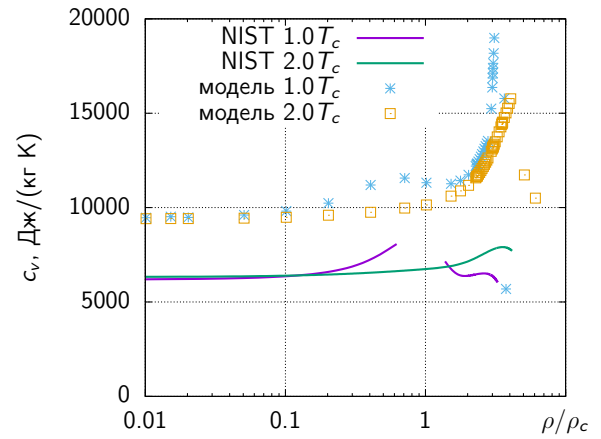
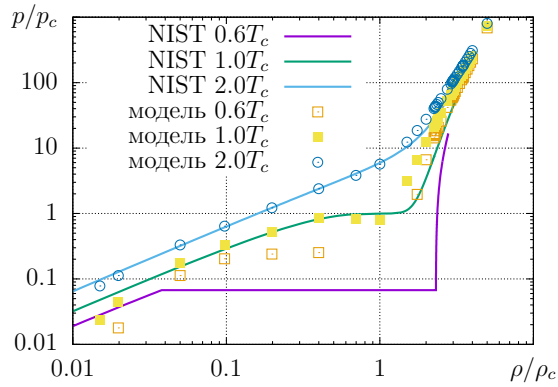
2.3 Хе



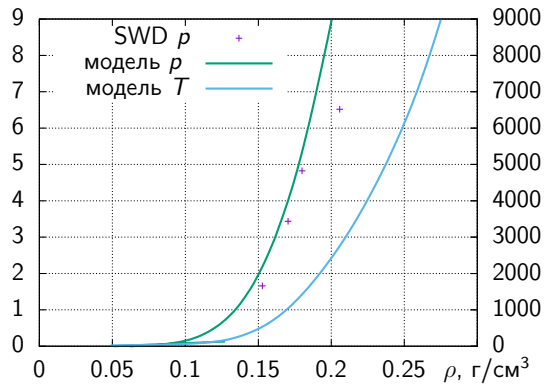


2.4 H₂

$H_2, T_c = 33 \text{ K}, p_c = 0.0013 \text{ ГПа}, \rho_c = 30.8 \text{ кг/м}^3$



$H_2, \rho_0 = 0.072 \text{ г/см}^3, T_0 = 20 \text{ K}$



2.5 N₂

Экспериментальные данные по уравнению состояния N₂: сжатие до давления 2 ГПа [1], сжатие в алмазных наковальнях [2, 3], ударные адиабаты [4, 5]. Модели уравнения состояния [6].

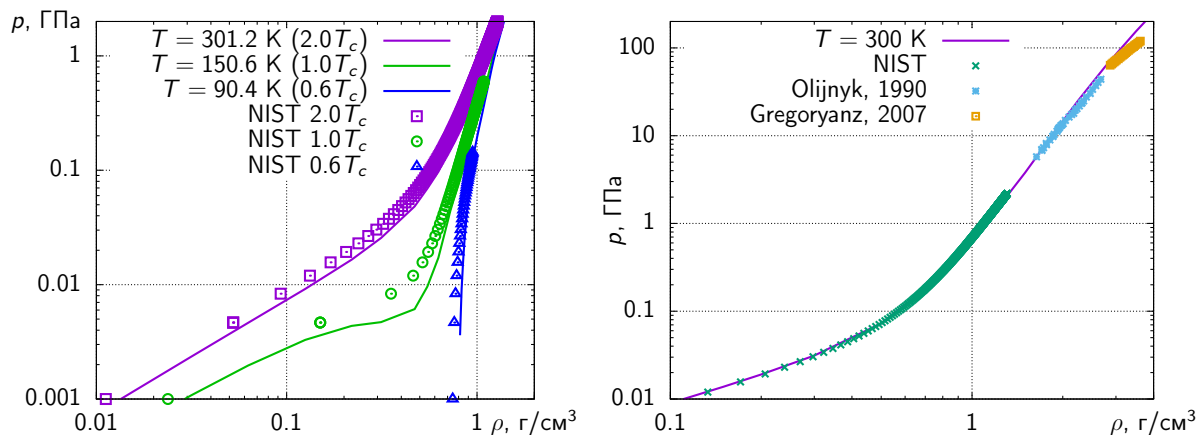


Рис. 1: Зависимости давления от плотности флюида N₂ вдоль изотерм: NIST – [1], Olijnyk – [2], Gregoryanz – [3].

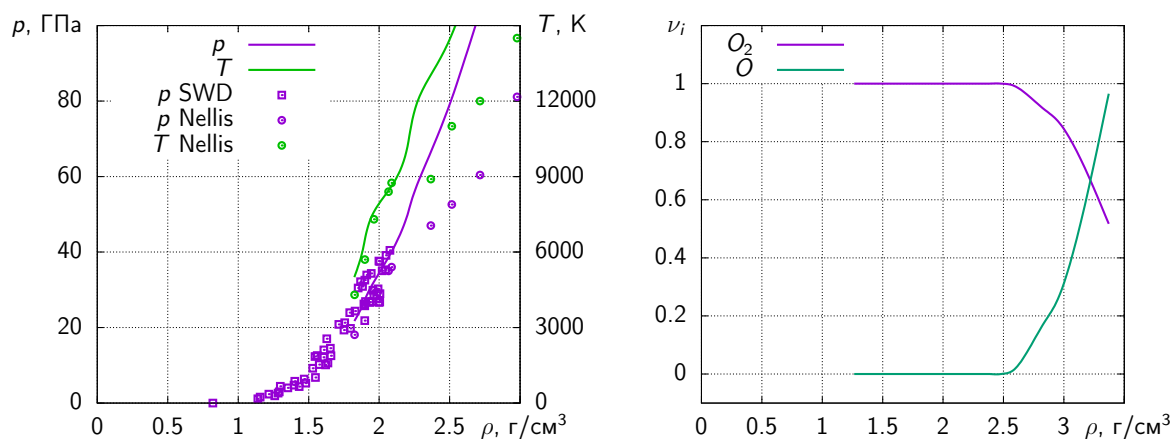


Рис. 2: Ударная адиабата сжиженного азота: SWD – [4], Nellis – [5]. Начальное состояние: $\rho_0 = 0.808$ г/см³, $T_0 = 77.4$ К.

2.6 O₂

Экспериментальные данные по уравнению состояния O₂: [1, 4]. Модели уравнения состояния [7, 8].

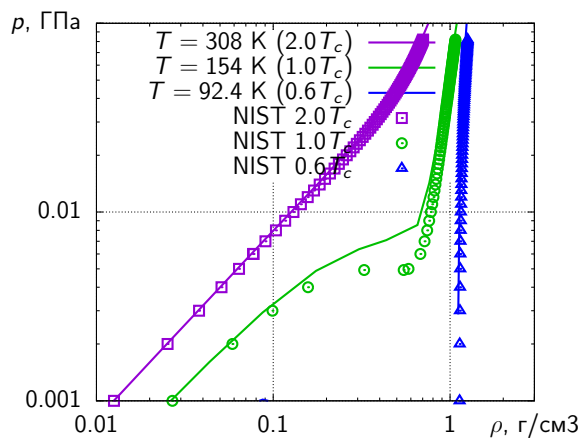


Рис. 3: Зависимости давления от плотности флюида O₂ вдоль изотерм: NIST – [1].

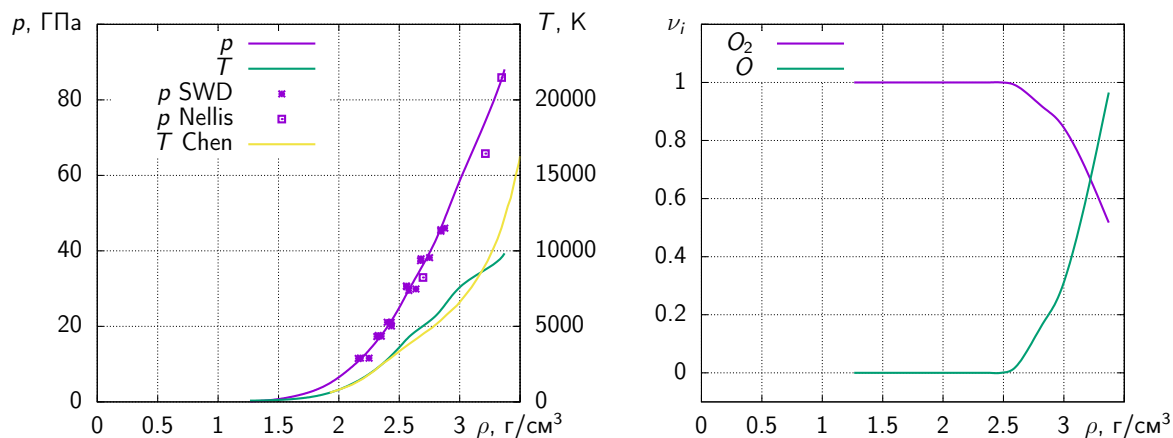


Рис. 4: Ударная адиабата сжиженного азота: SWD – [4], Chen – [8], Ree – [7]. Начальное состояние: $\rho_0 = 1.202 \text{ г/см}^3$, $T_0 = 77 \text{ К}$.

2.7 CO

Экспериментальные данные по уравнению состояния CO : [1, 4].

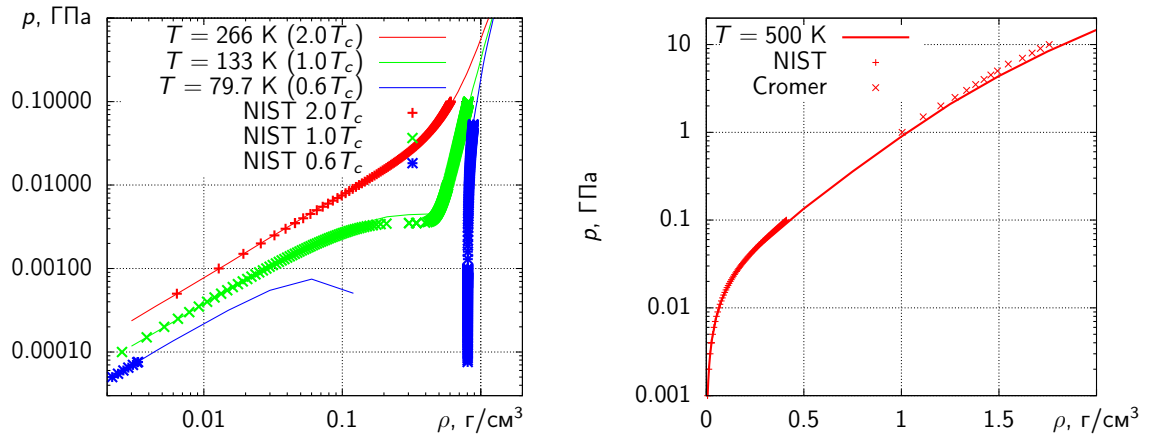


Рис. 5: Зависимости давления от плотности флюида CO вдоль изотерм: NIST – [1].

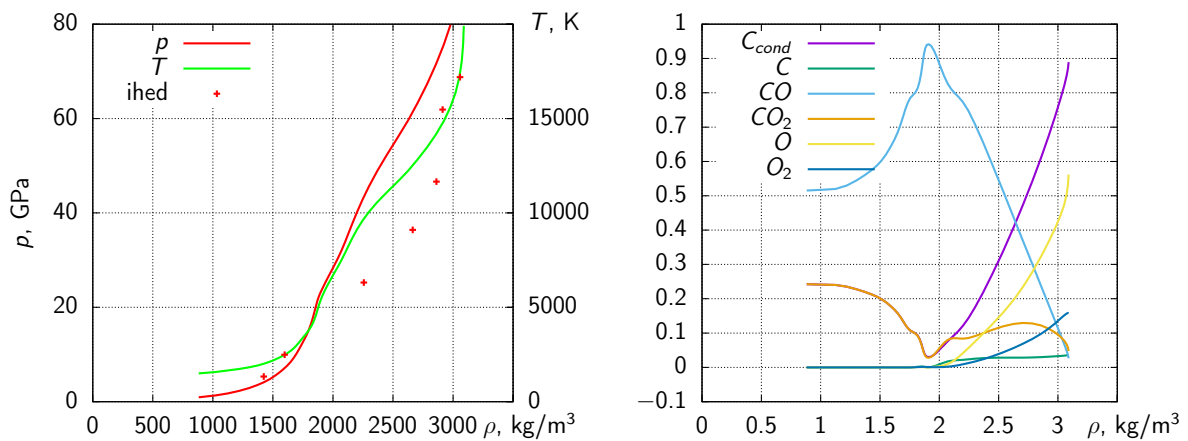


Рис. 6: Ударная адиабата сжиженного CO : Nellis – [eq_co_nellis_1981], Chen – [8], Ree – [7]. Начальное состояние: $\rho_0 = 1.202$ г/см³, $T_0 = 77$ К.

2.8 CO₂

Экспериментальные данные по уравнению состояния CO₂: [1, 9, 10, 11].

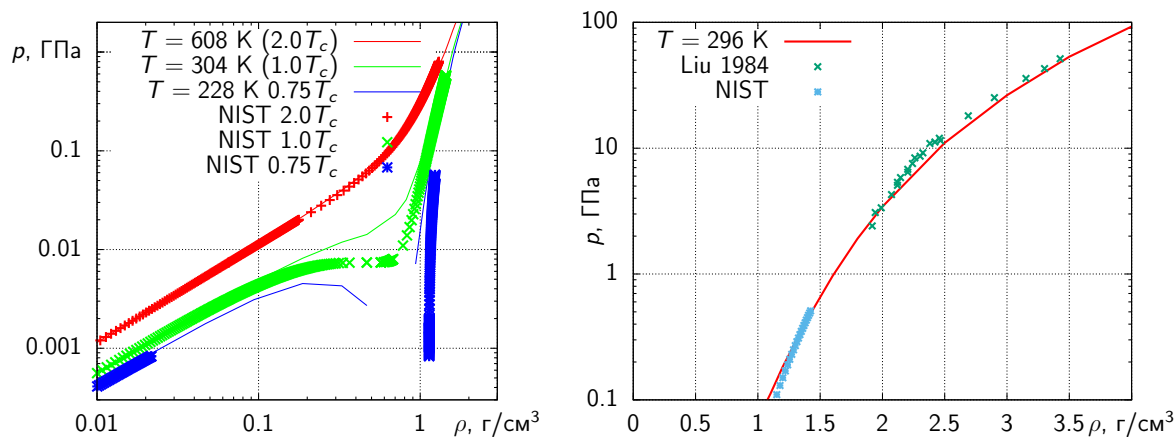


Рис. 7: Зависимости давления от плотности флюида CO₂ вдоль изотерм: NIST – [1], Liu – [10].

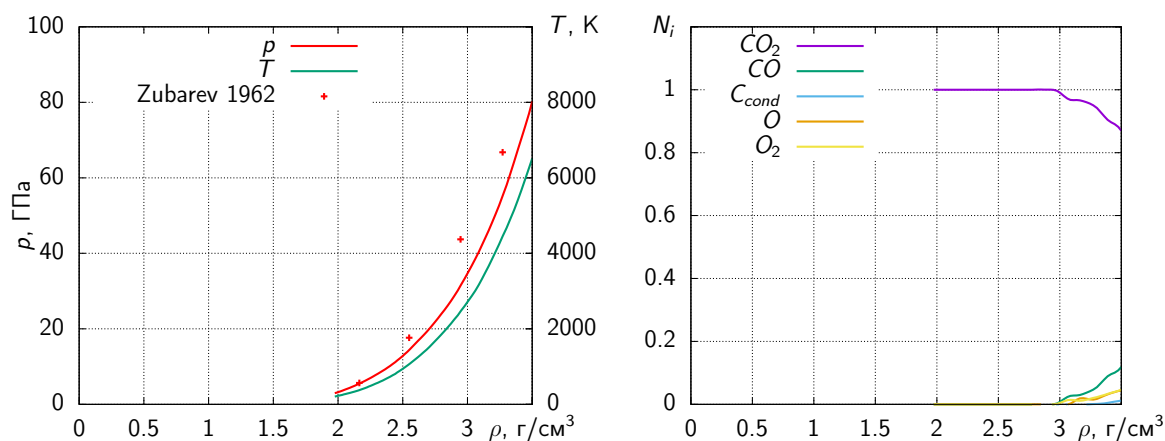


Рис. 8: Ударная адиабата твердого CO₂: Zubarev – [9]. Начальное состояние: $\rho_0 = 1.54$ г/см³, $T_0 = 196$ К.

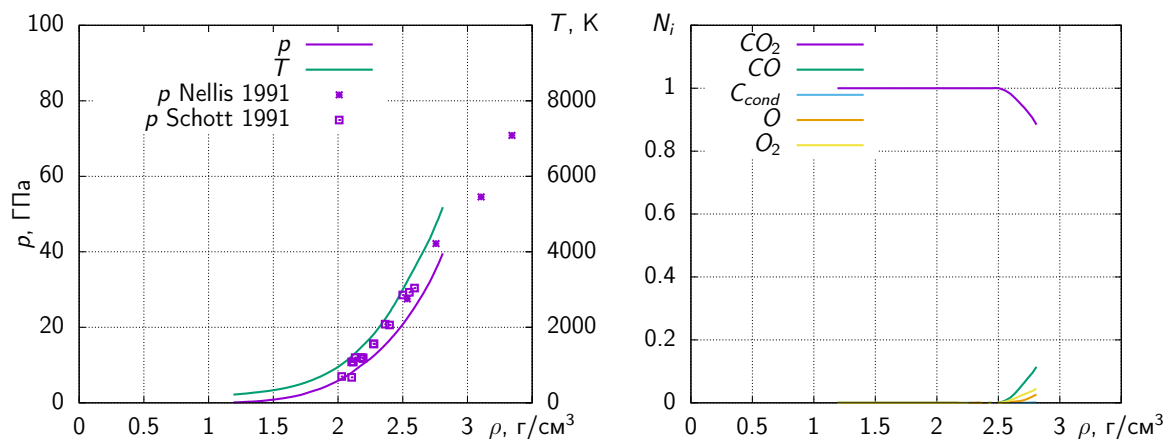


Рис. 9: Ударная адиабата жидкого CO₂: Nellis – [11], Schott – [12]. Начальное состояние: $\rho_0 = 1.172$ г/см³, $T_0 = 218$ К, $p_0 = 7e5$ Па.

2.9 H₂O

Экспериментальные данные по уравнению состояния H₂O: [1, 4].

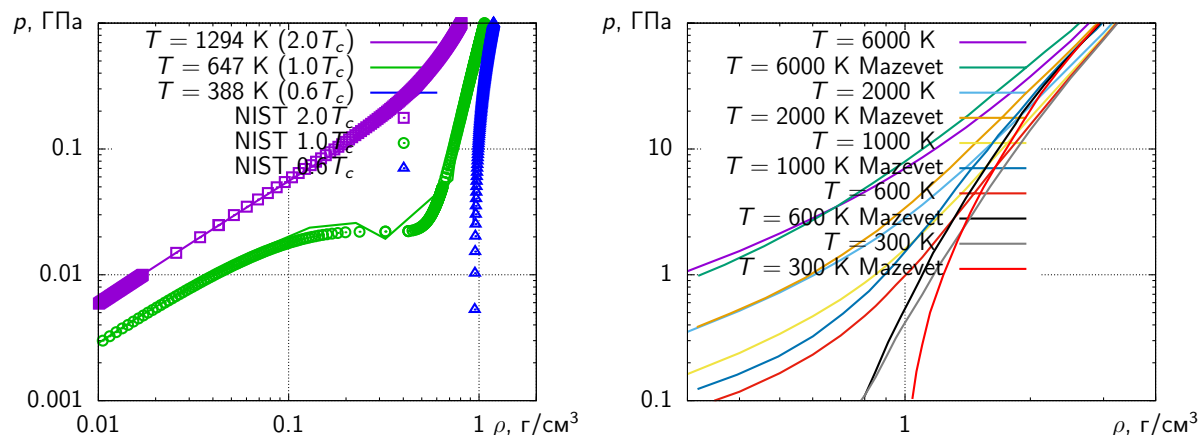


Рис. 10: Зависимости давления от плотности флюида H₂O вдоль изотерм: NIST – [1], Mazevet – [13].

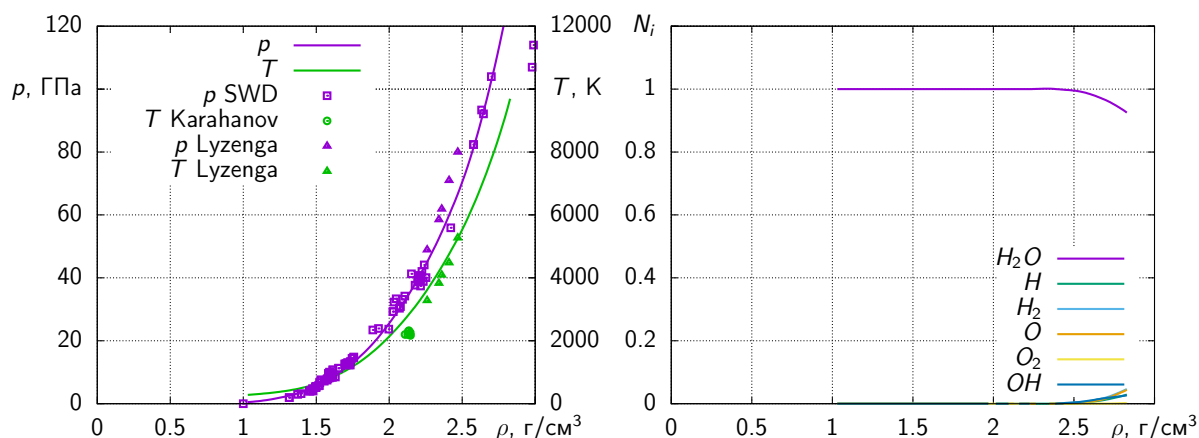
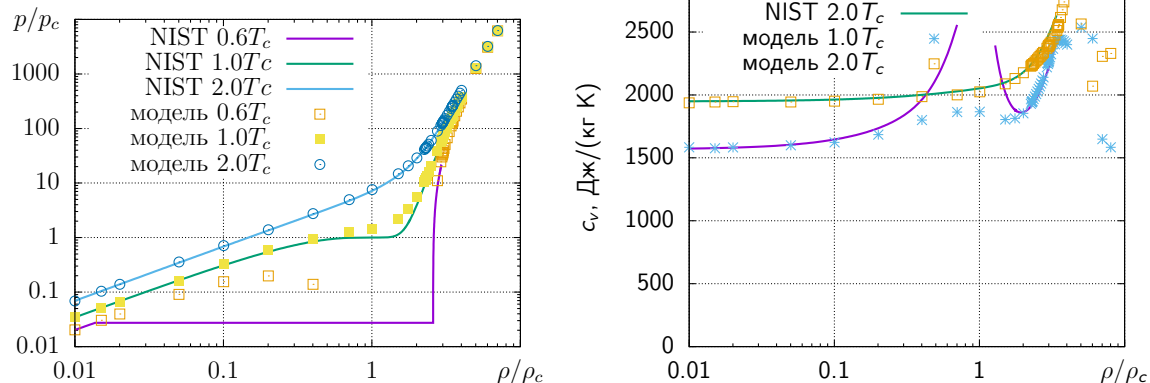


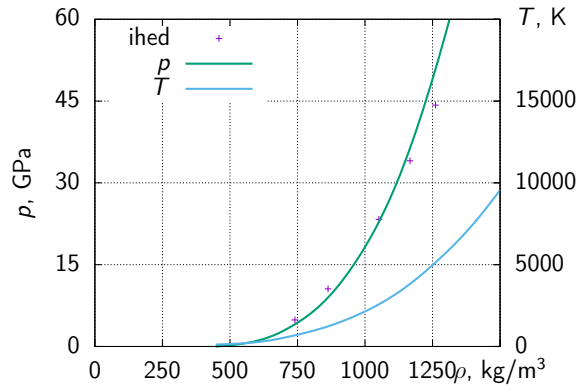
Рис. 11: Ударная адиабата H₂O: SWD – [4], Karahanov – [14], Lyzenga – [15]. Начальное состояние: $\rho_0 = 0.994$ г/см³, $T_0 = 300$ К.

2.10 CH₄

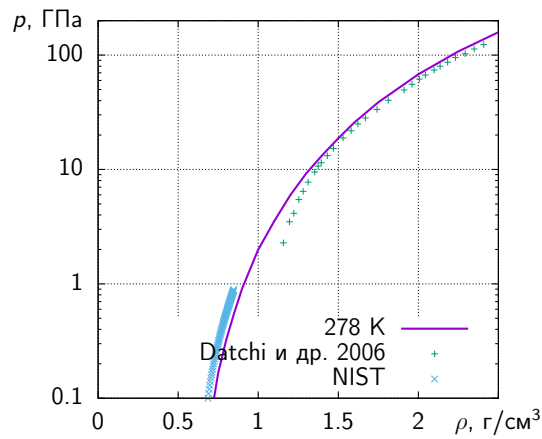
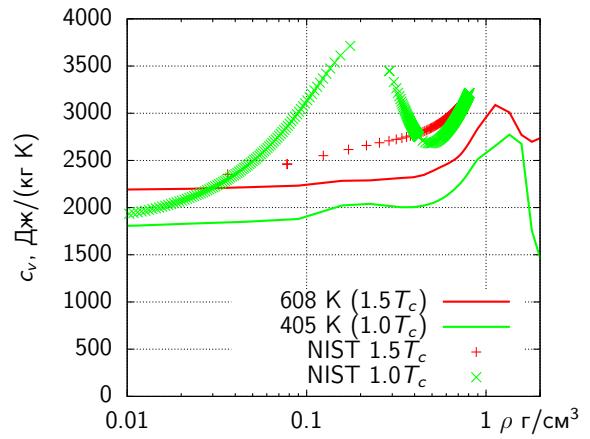
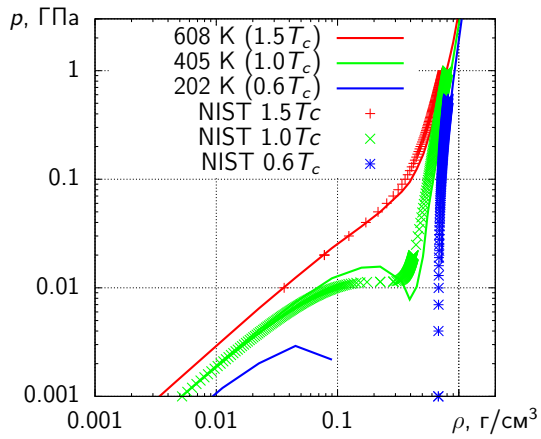
CH₄, $T_c = 191$ К, $p_c = 0.0046$ ГПа, $\rho_c = 162$ кг/м³

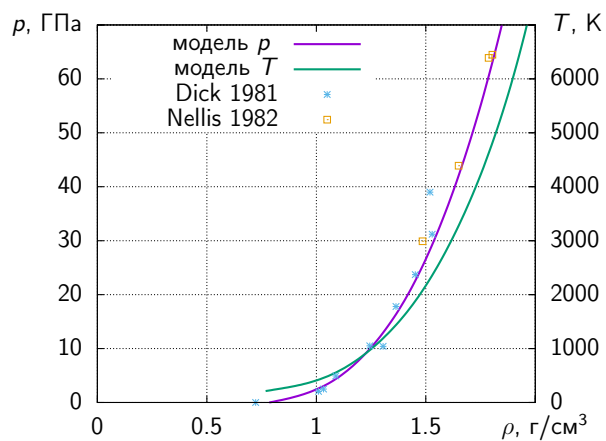


$CH_4, \rho_0 = 423 \text{ кг/м}^3, T_0 = 111.46 \text{ К}$

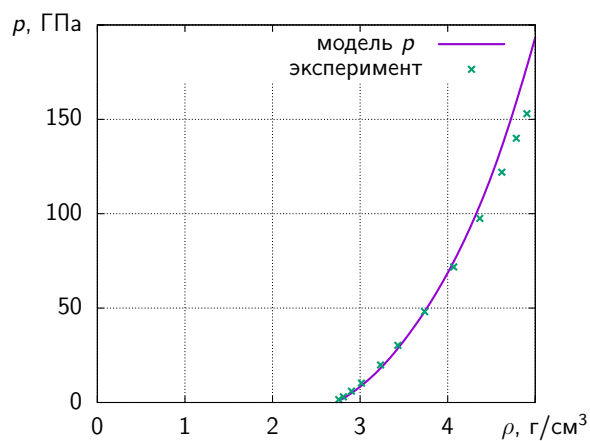


2.11 NH_3

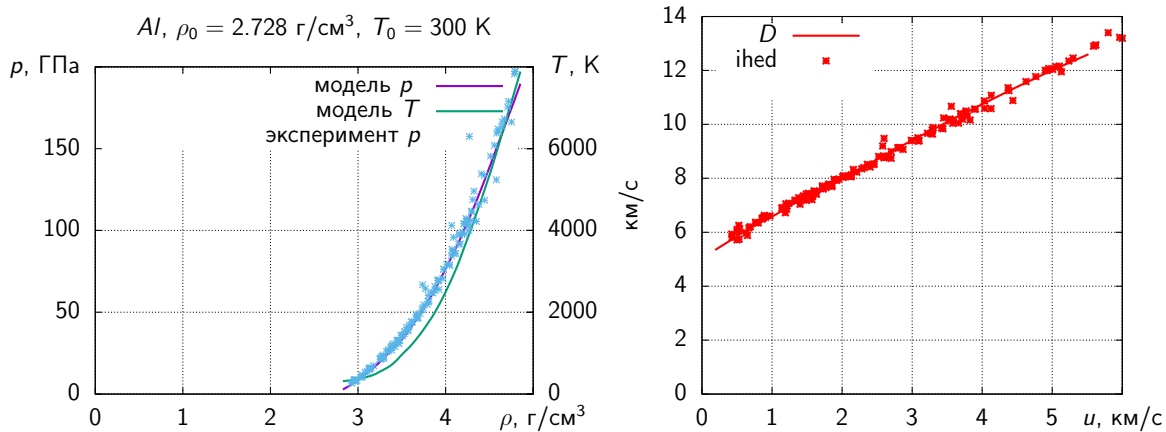




2.12 Al

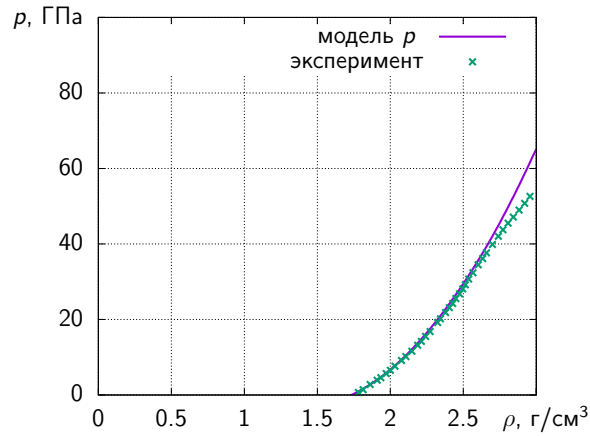


Изотерма Al (300 К) с фиксированным химическим составом.

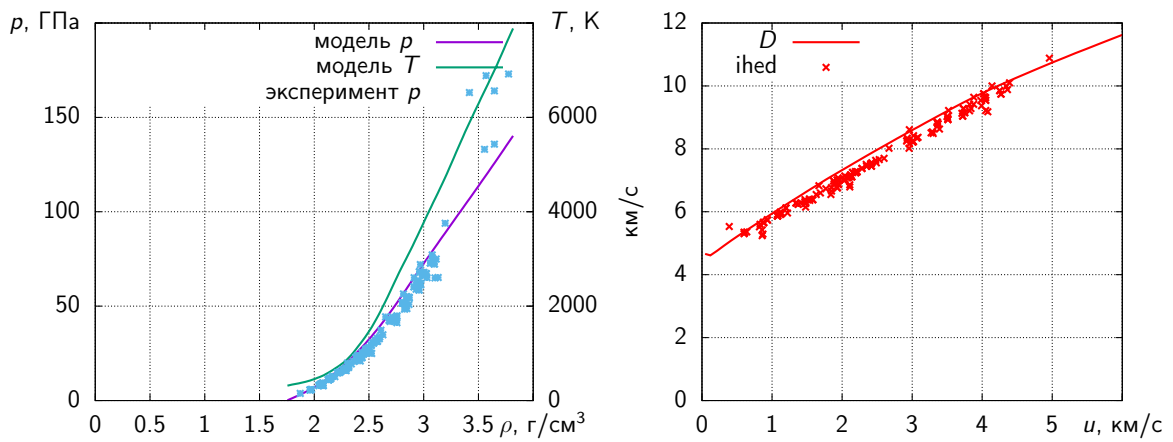


Ударная адиабата Al с фиксированным химическим составом.

2.13 Mg

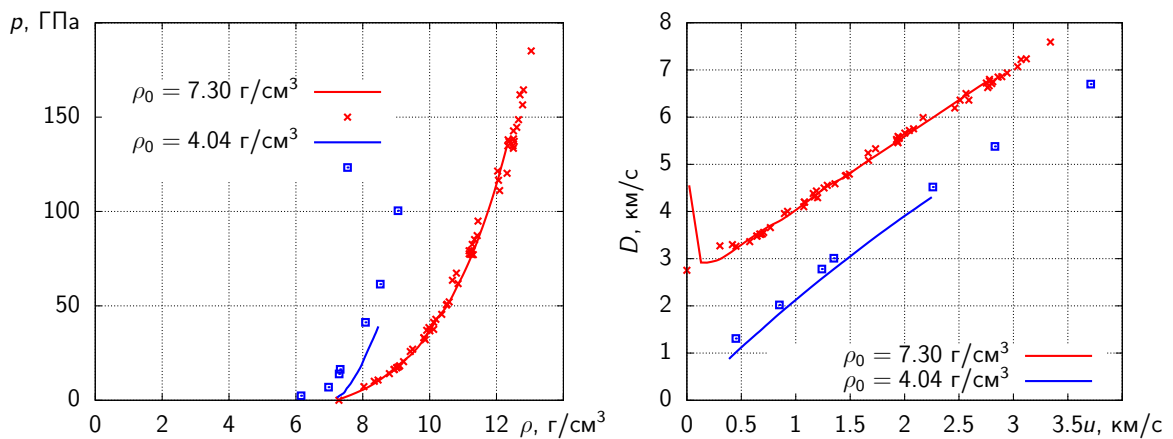


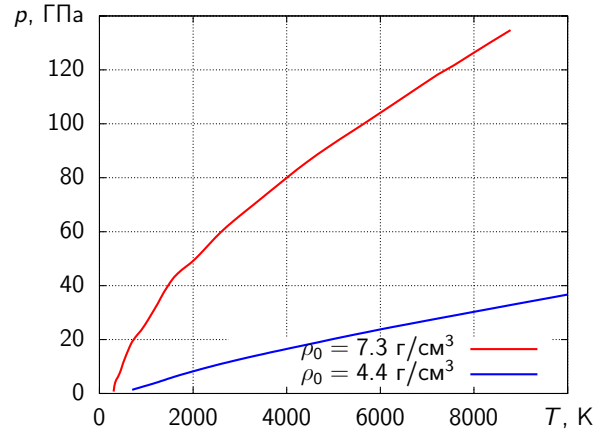
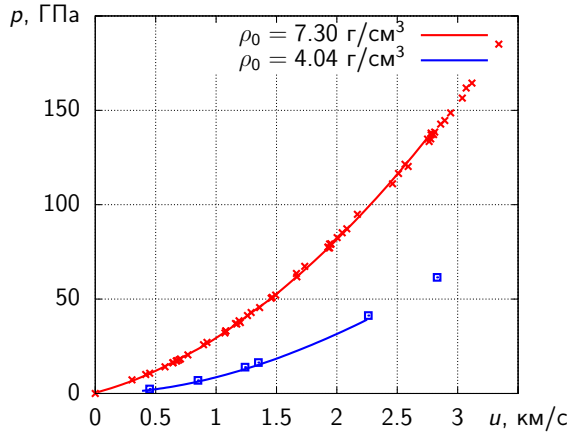
Изотерма Mg (300 К) с фиксированным химическим составом.



Ударная адиабата Mg с фиксированным химическим составом.

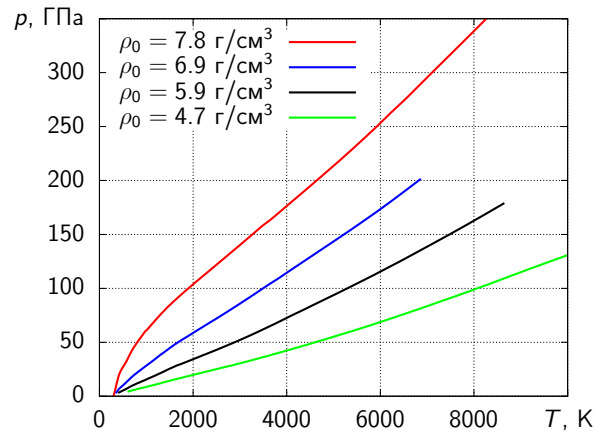
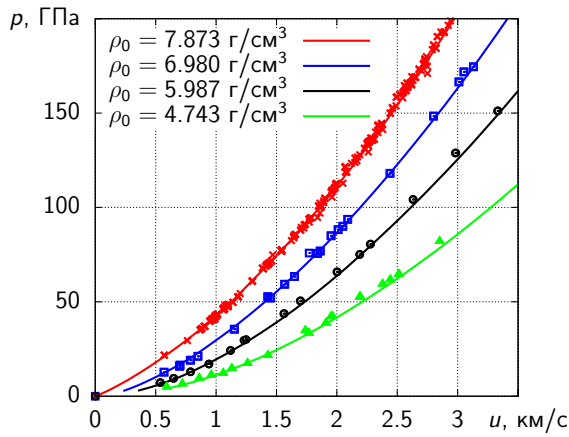
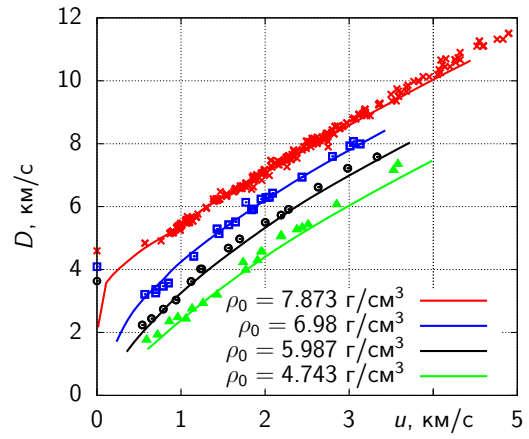
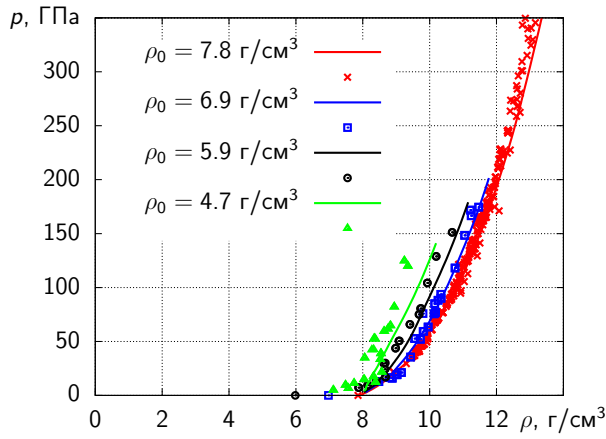
2.14 Sn



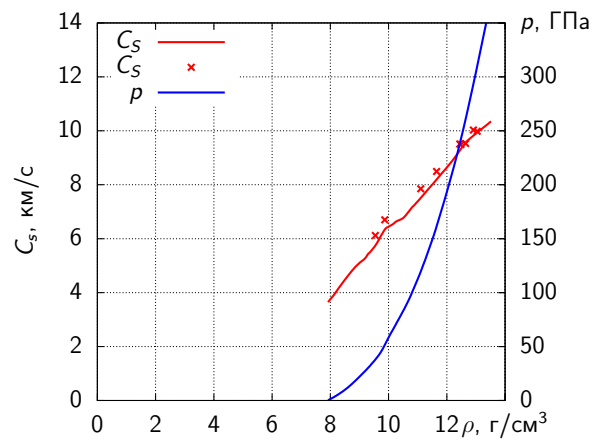


Ударные адиабаты *Sn* с фиксированным химическим составом для разных начальных плотностей.

2.15 Fe



Ударные адиабаты *Fe* с фиксированным химическим составом для разных начальных плотностей.

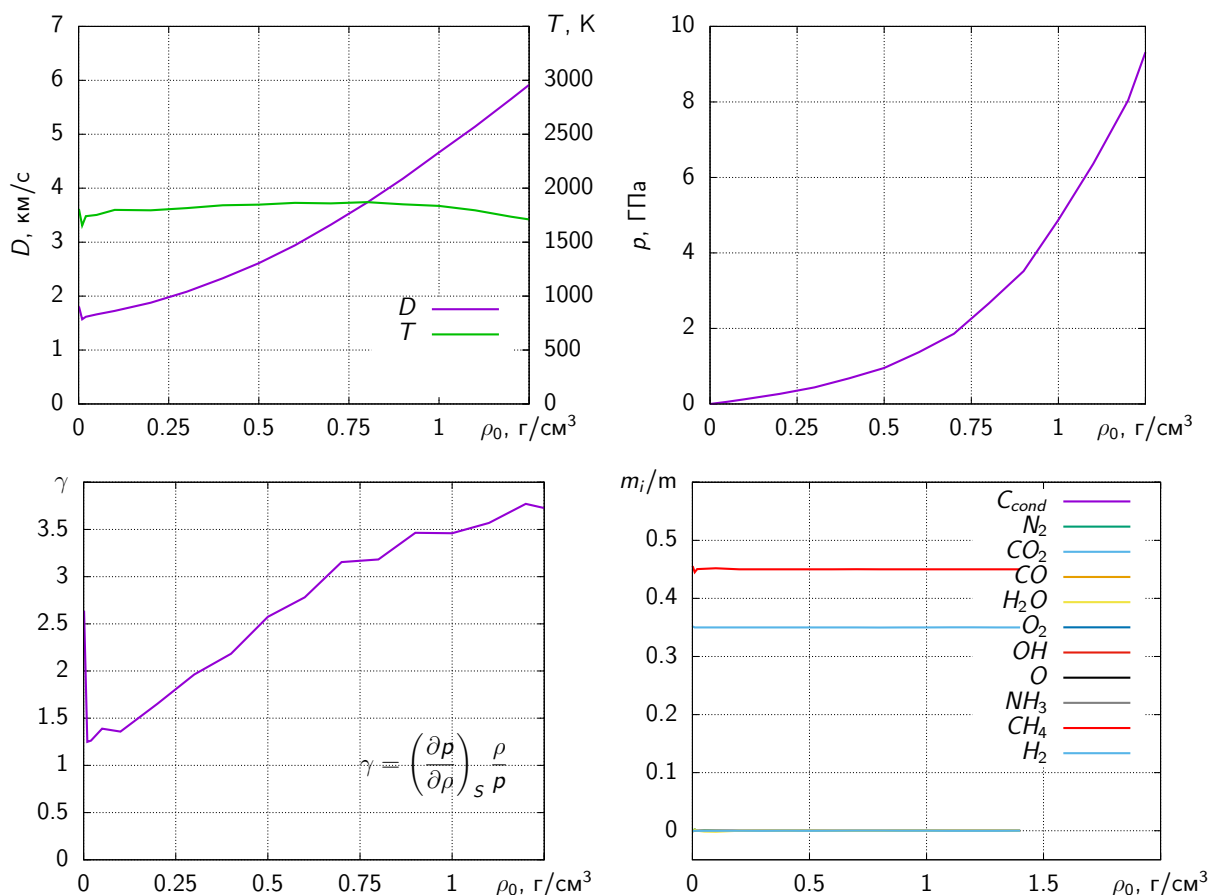


Объемная скорость звука и давление от плотности вдоль ударной адиабаты железа.

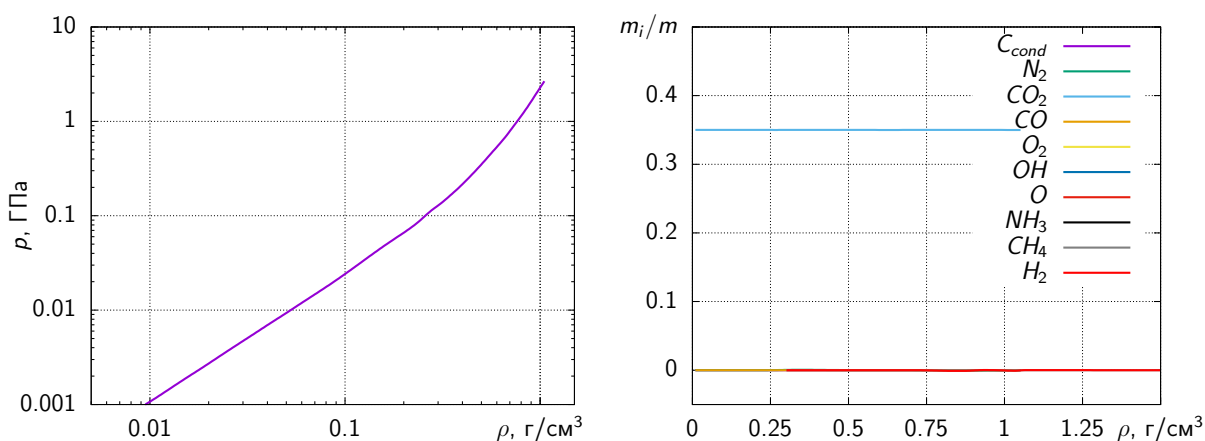
3 Продукты детонации конденсированных вв

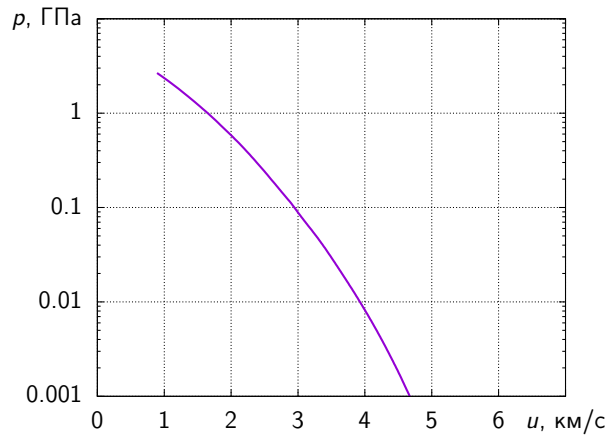
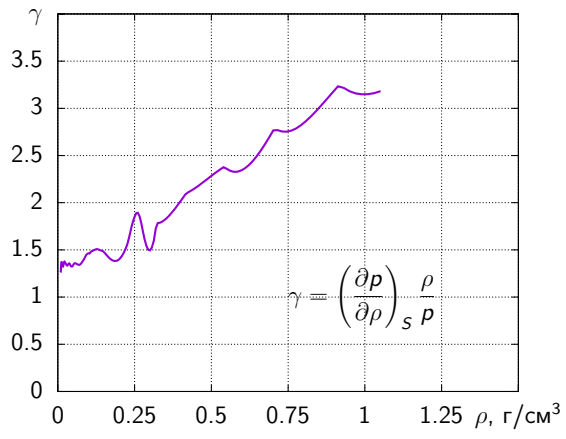
3.1 Аммиачная селитра

Параметры детонации Чепмена-Жуге в зависимости от начальной плотности заряда аммиачной селитры ($[NH_4][NO_3]$).



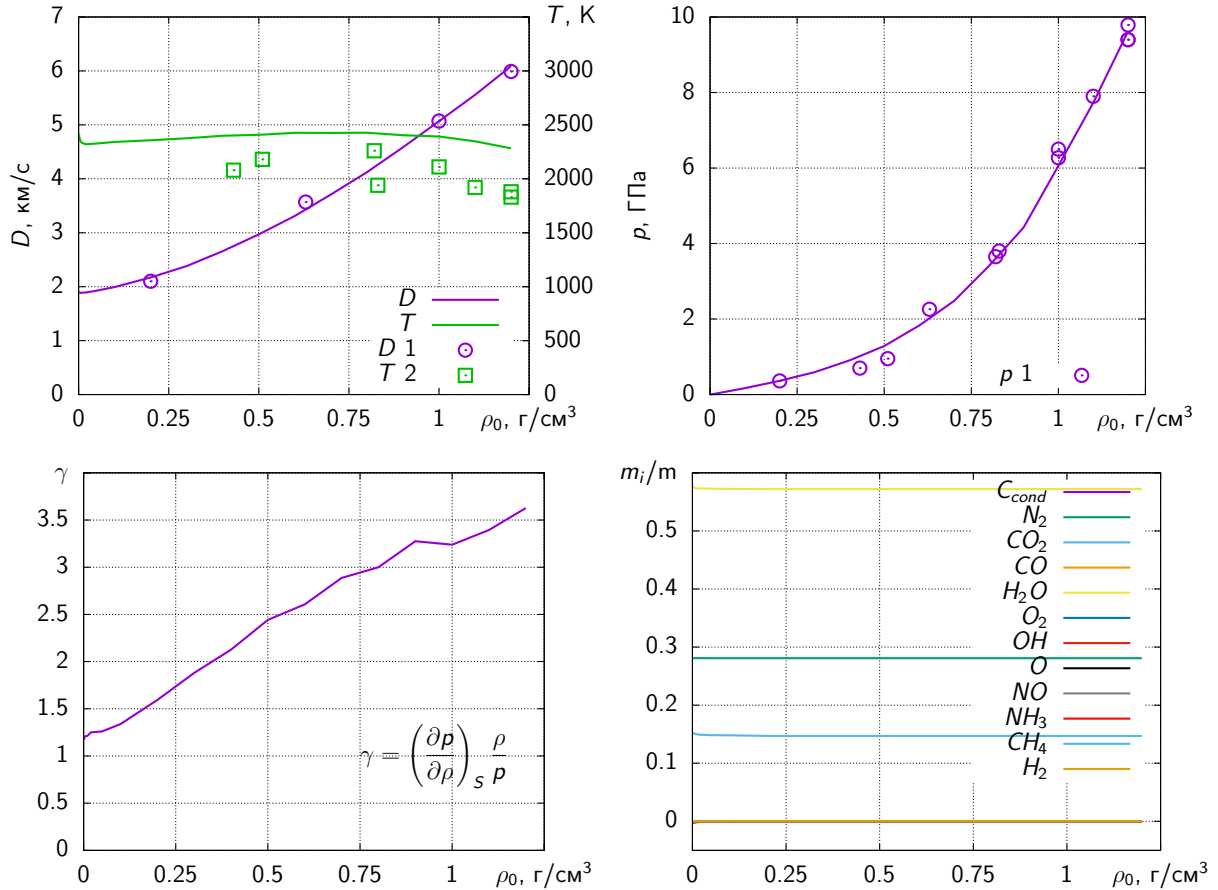
Параметры адиабаты разгрузки продуктов детонации аммиачной селитры с начальной плотностью $0.8 g/cm^3$.



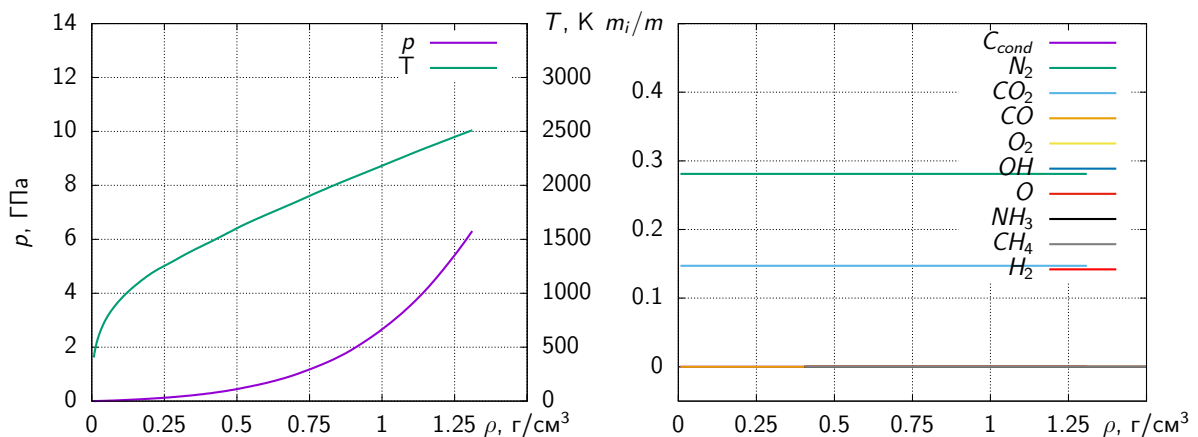


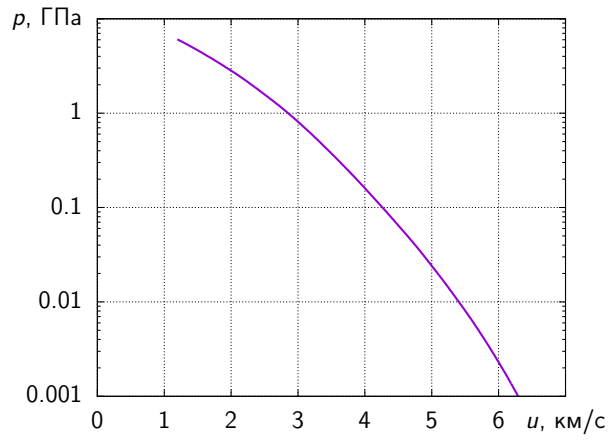
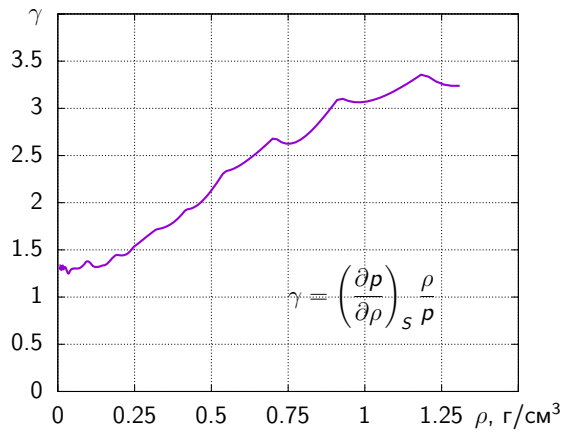
3.2 Эмульсионное ВВ

Параметры детонации Чепмена-Жуге в зависимости от начальной плотности заряда. Состав: 80, 4.67, 12 массовых частей $H_4N_2O_3$, $[CH_2]_n$ – парафин (стеарин $C_{18}H_{36}O_2$), H_2O соответственно. Состав близок к соотношению соответствующему полному окислению компонент – $1H_4N_2O_3 + 1/3CH_2 + 2/3H_2O = 1N_2 + 3H_2O + 1/3CO_2$.



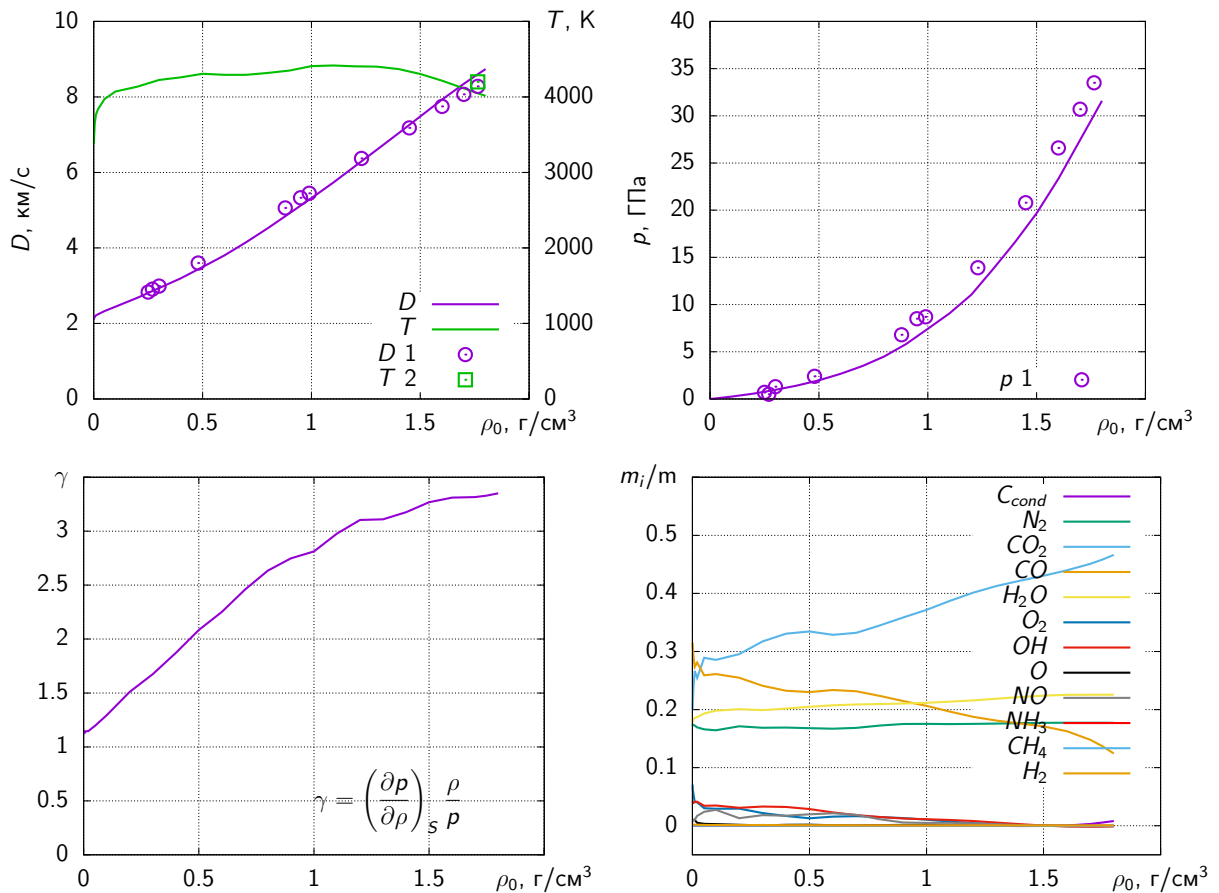
Параметры адиабаты разгрузки продуктов детонации ВВ с начальной плотностью 1.0 г/см³.



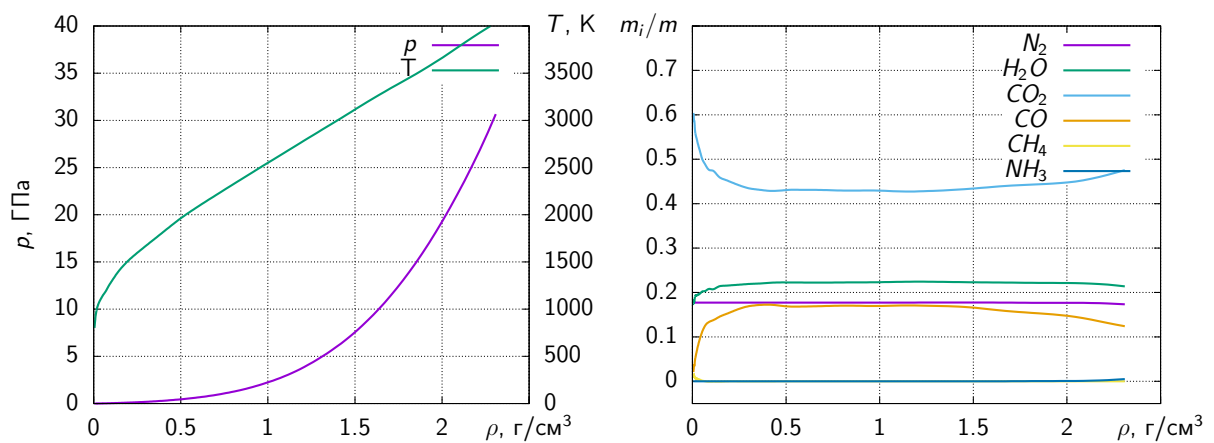


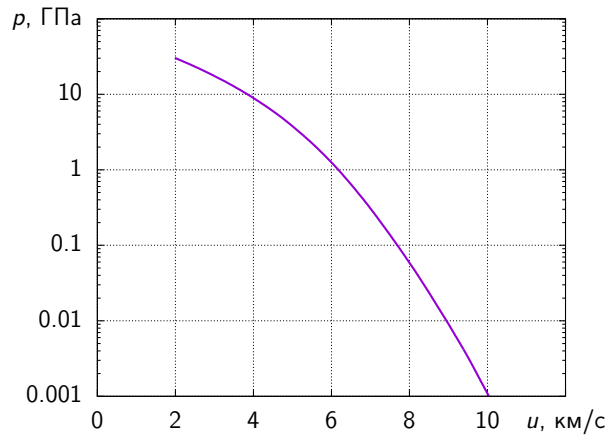
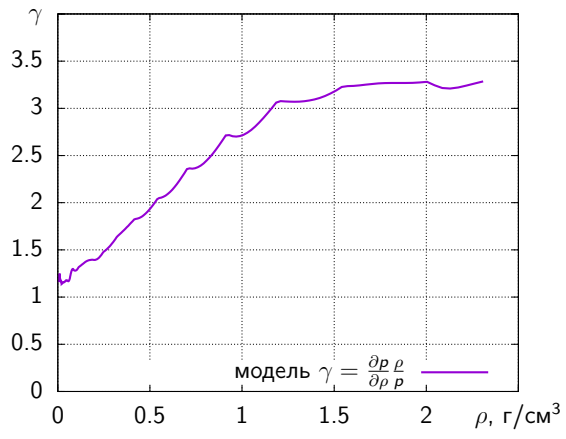
3.3 ТЭН

Параметры детонации Чепмена-Жуге в зависимости от начальной плотности заряда тэна ($C_5H_8N_4O_{12}$).



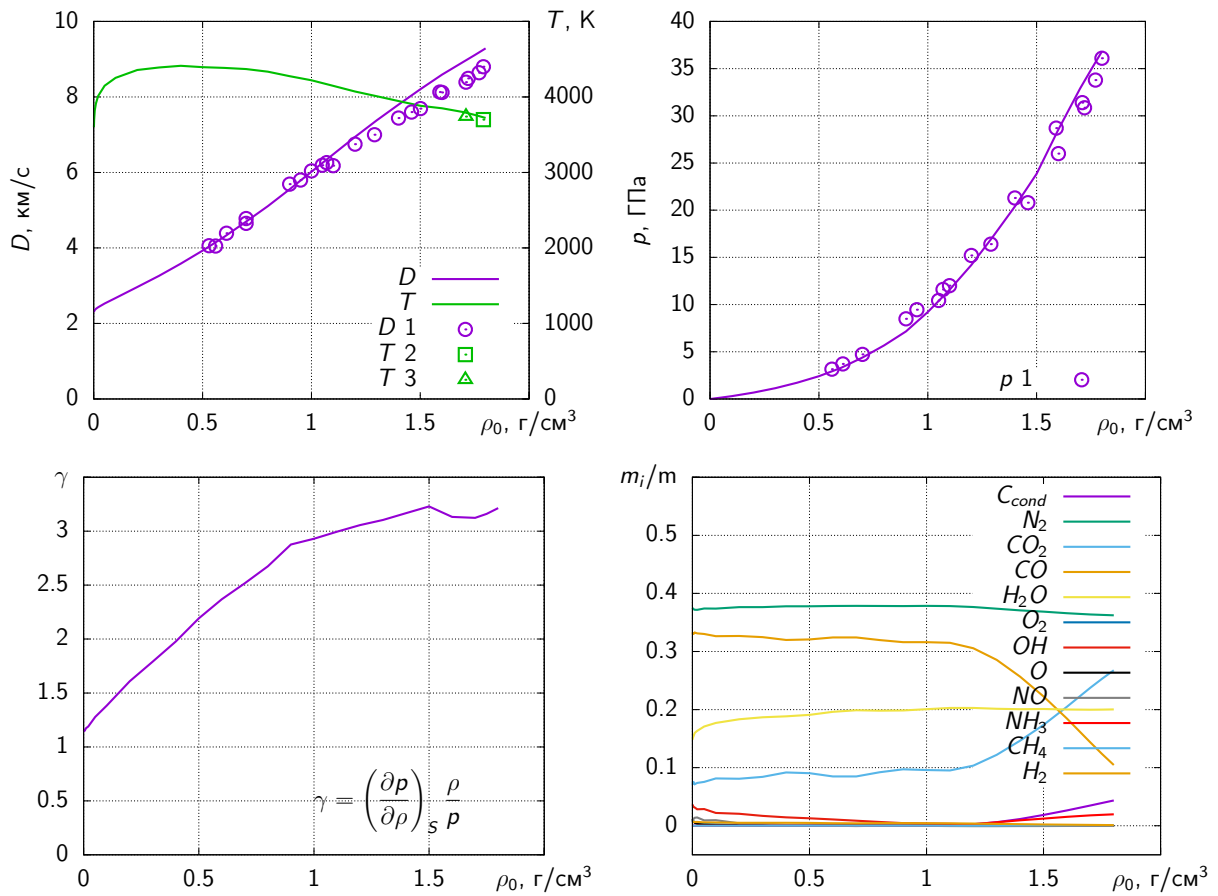
Параметры адиабаты разгрузки продуктов детонации тэна с начальной плотностью 1.77 г/см³.



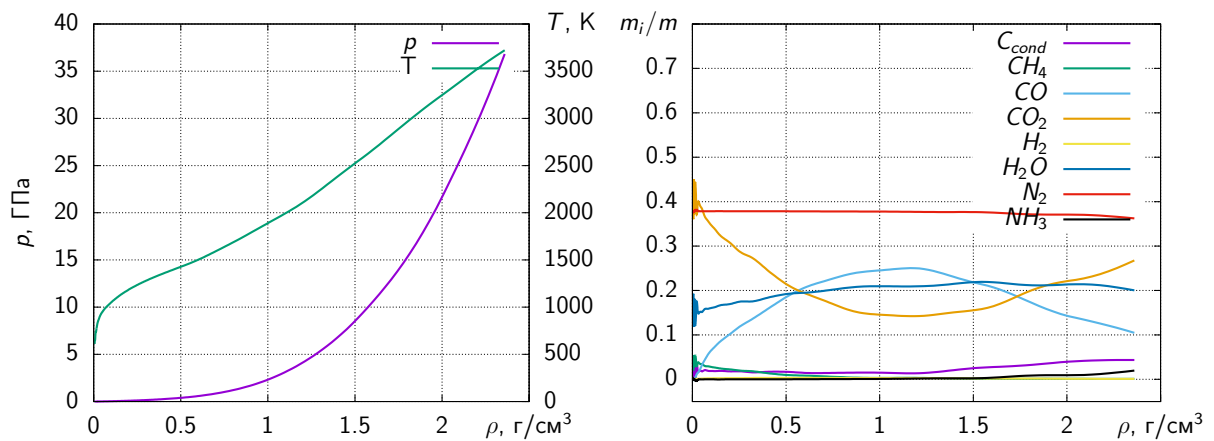


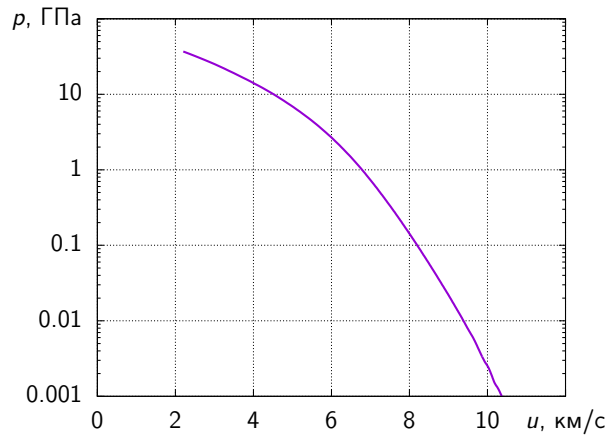
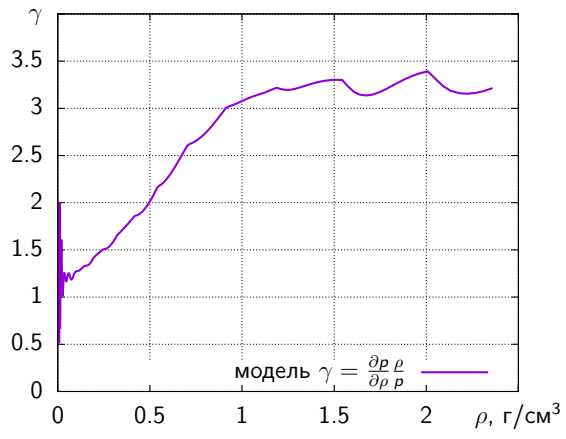
3.4 Гексоген

Параметры детонации Чепмена-Жуге в зависимости от начальной плотности заряда гексогена ($C_3H_6N_6O_6$).



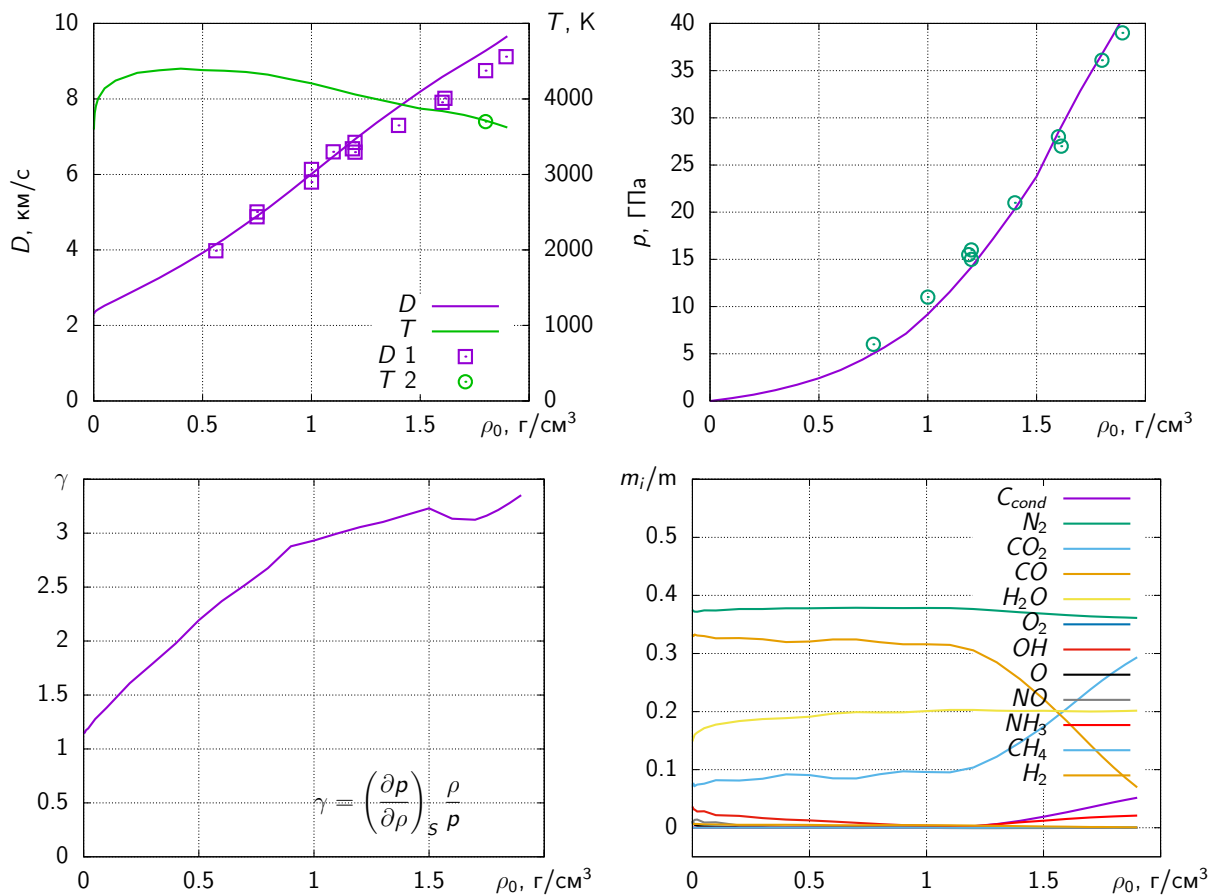
Параметры адиабаты разгрузки продуктов детонации гексогена с начальной плотностью 1.80 г/см³.



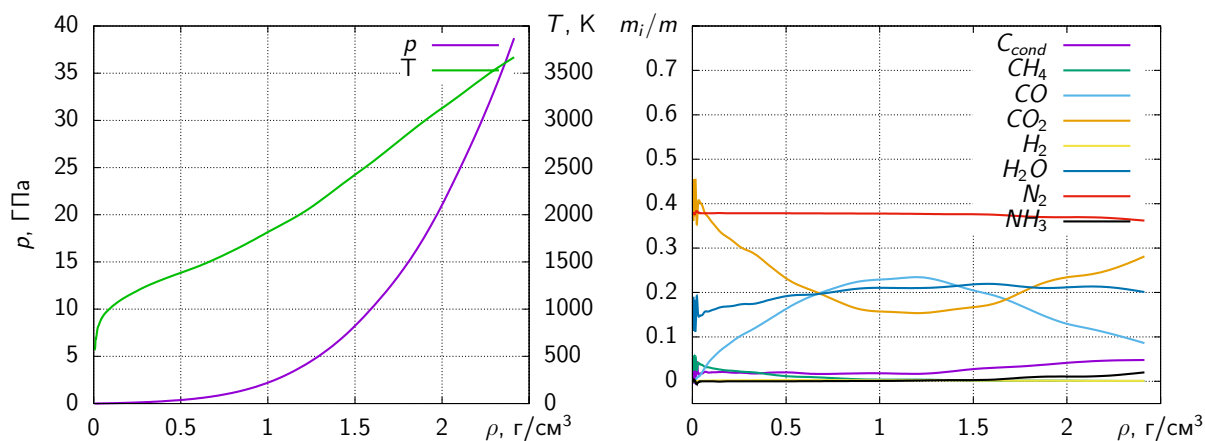


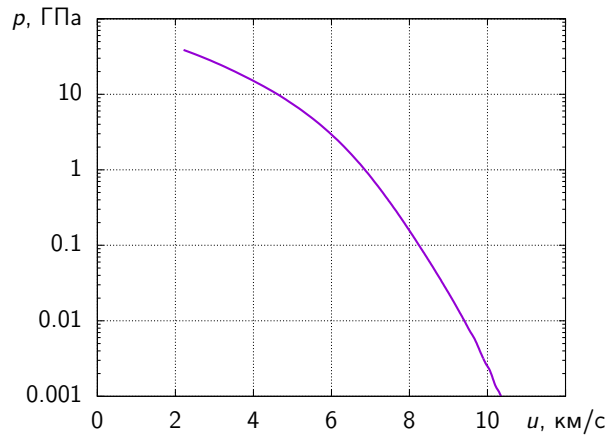
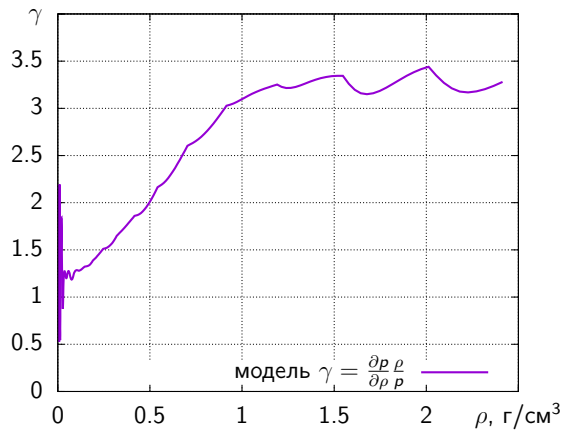
3.5 Октоген

Параметры детонации Чепмена-Жуге в зависимости от начальной плотности заряда ($C_4H_8N_8O_8$).



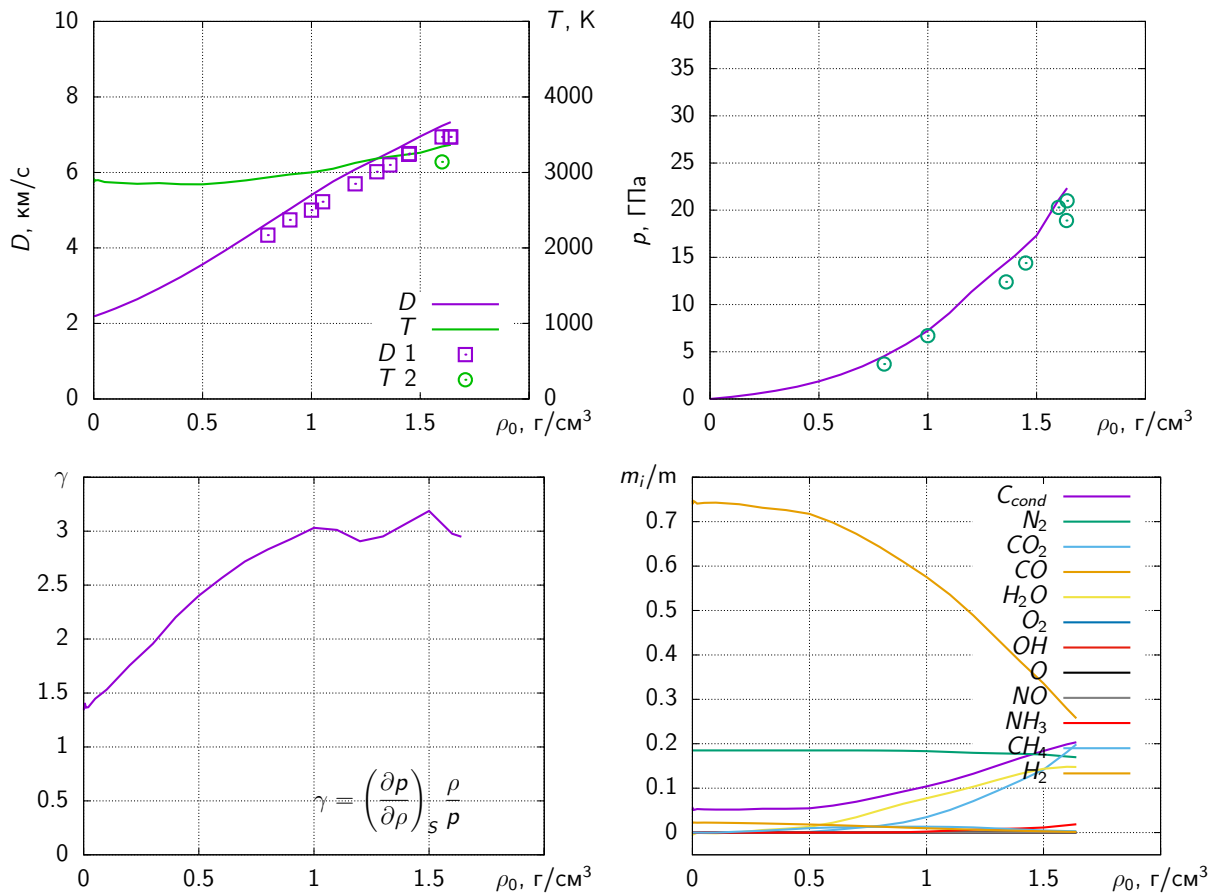
Параметры адиабаты разгрузки продуктов детонации октогена с начальной плотностью 1.90 г/см³.



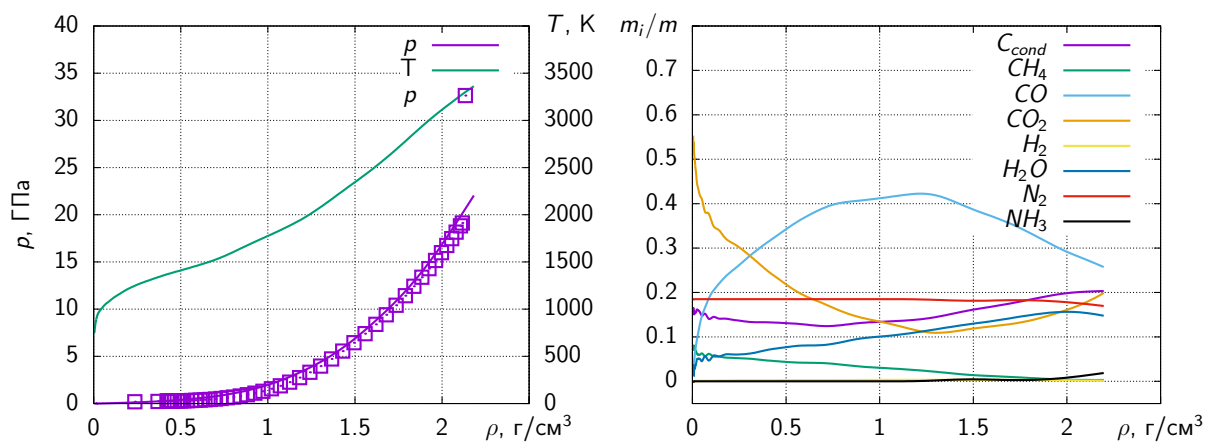


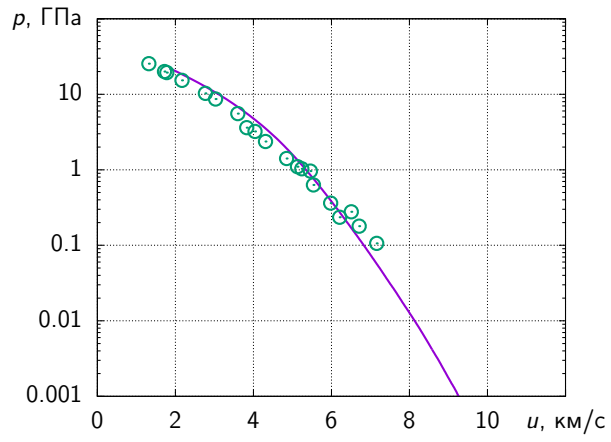
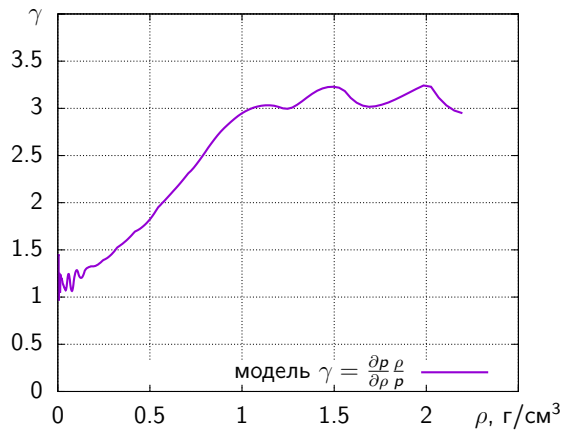
3.6 Тротил

Параметры детонации Чепмена-Жуге в зависимости от начальной плотности заряда ($C_7H_5N_3O_6$).



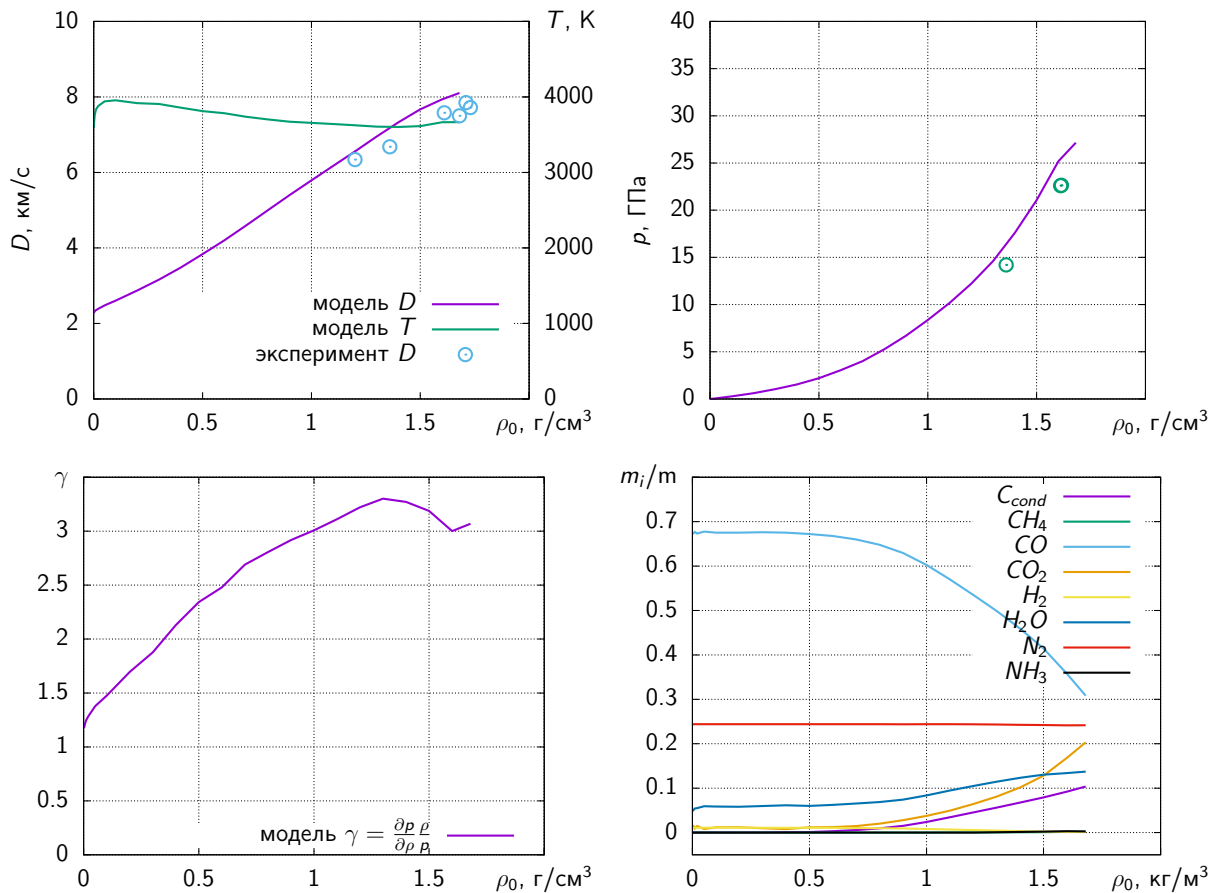
Параметры адиабаты разгрузки продуктов детонации тротила с начальной плотностью 1.640 г/см³.



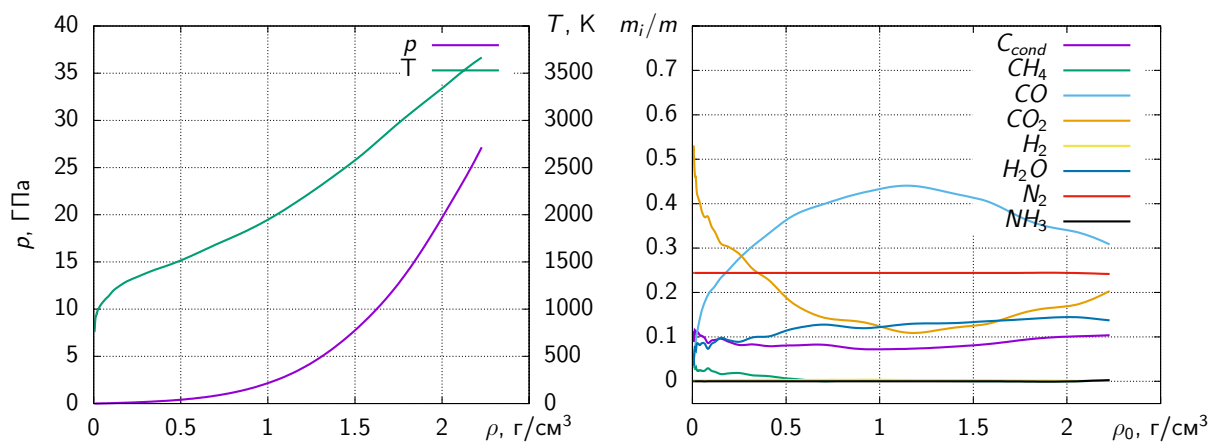


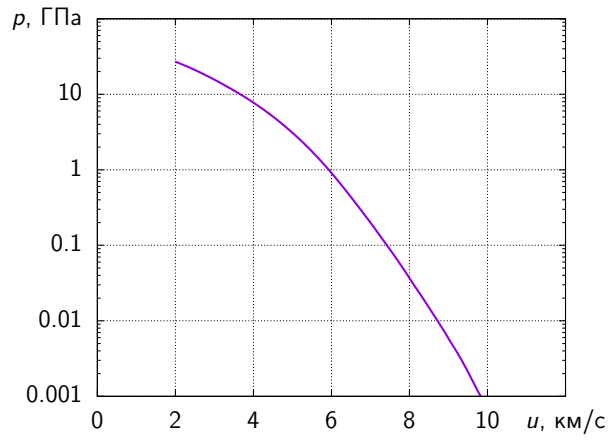
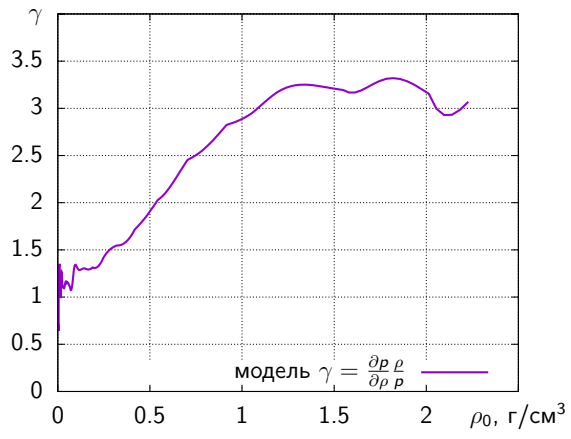
3.7 Тетрил

Параметры детонации Чепмена-Жуге в зависимости от начальной плотности заряда ($C_7H_5N_5O_8$).



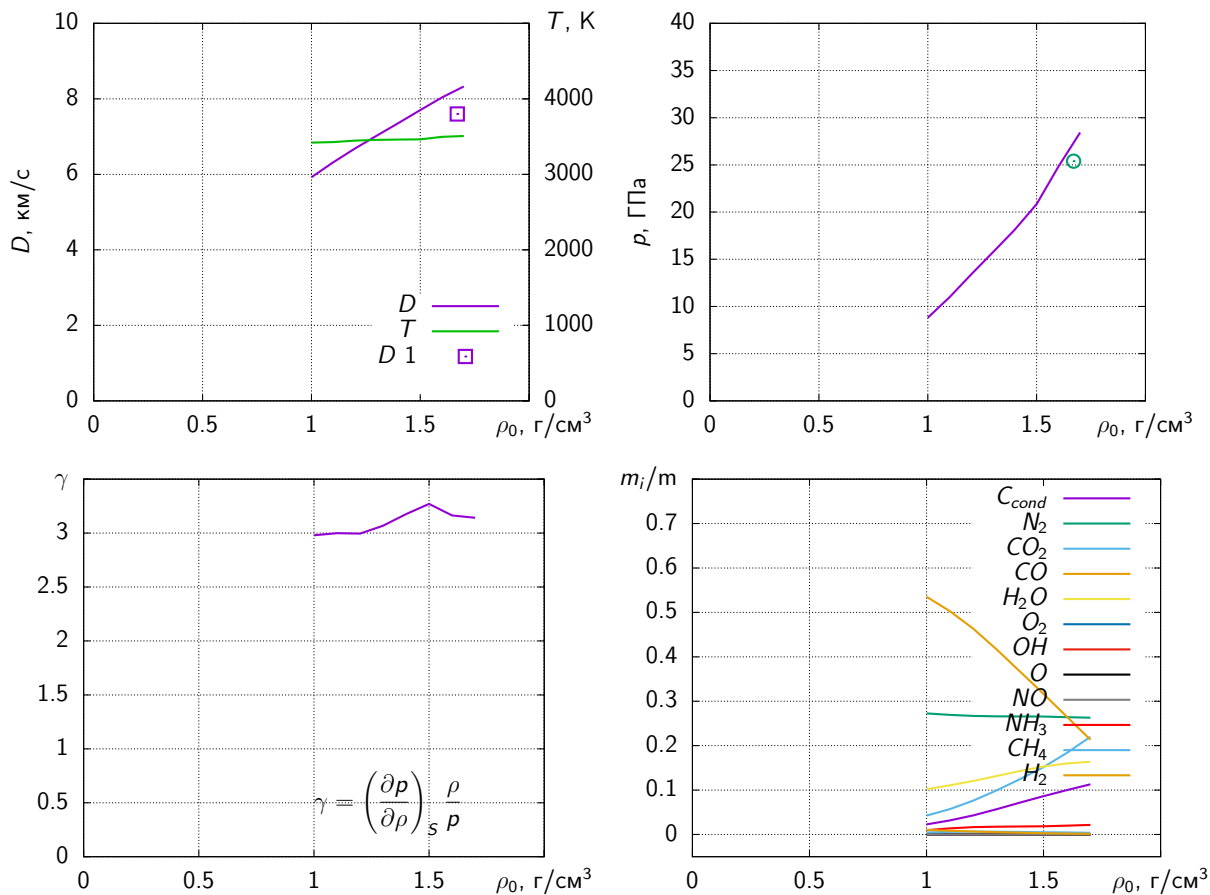
Параметры адиабаты разгрузки продуктов детонации тетрила с начальной плотностью 1.640 г/см³.



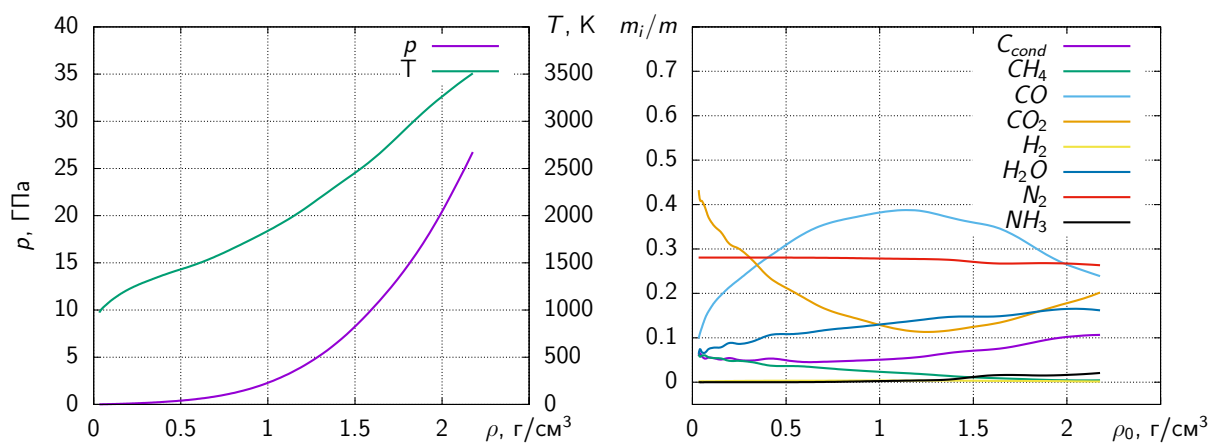


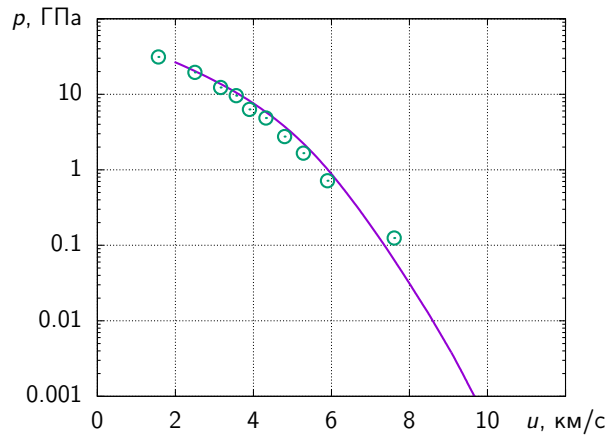
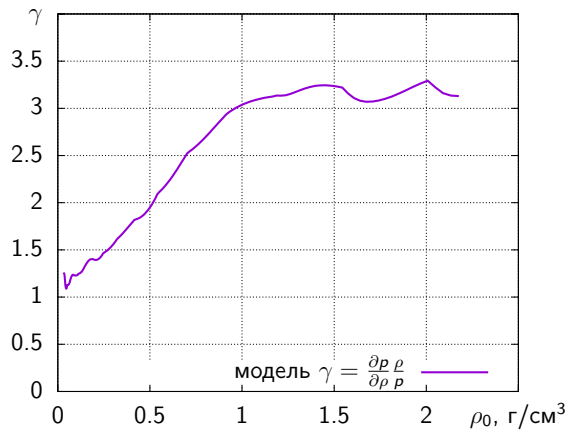
3.8 Тротил/гексоген

Параметры детонации Чепмена-Жуге в зависимости от начальной плотности заряда из смеси 50%ТНТ + 50%гексоген.



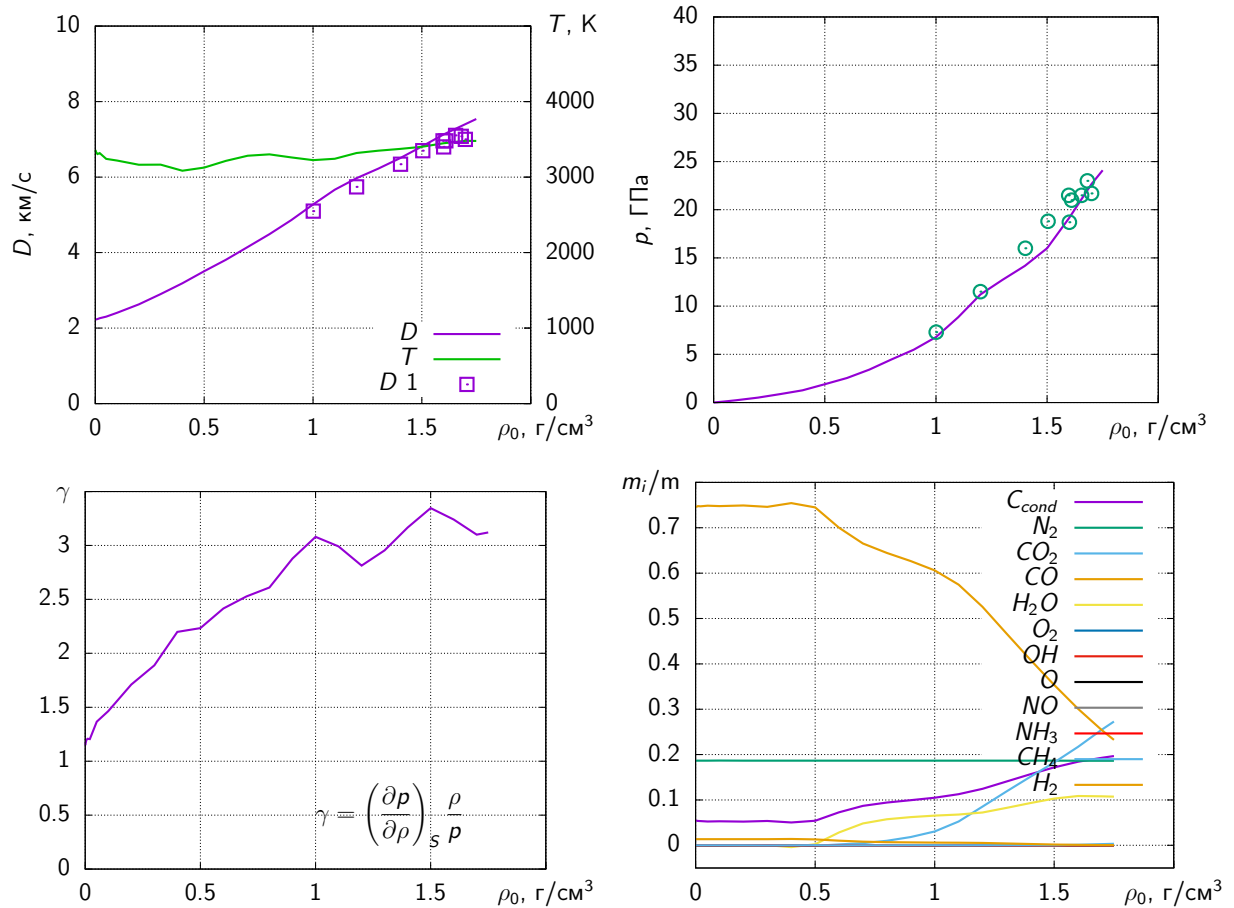
Параметры адиабаты разгрузки продуктов детонации вв с начальной плотностью 1.65 г/см³.



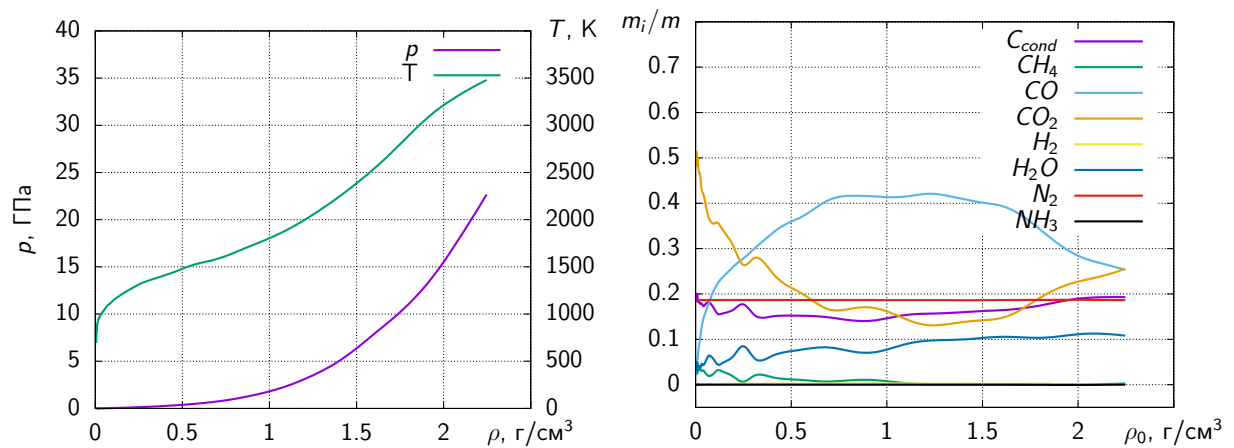


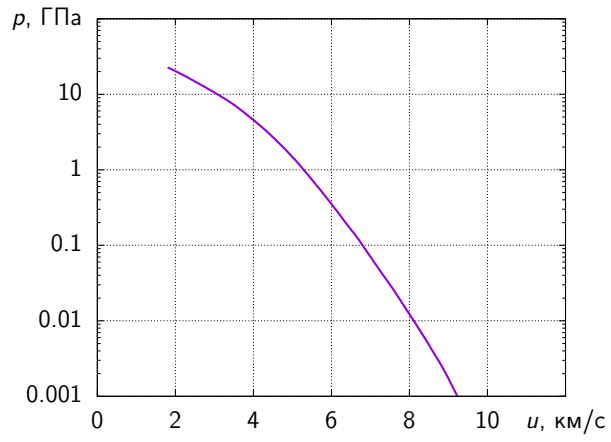
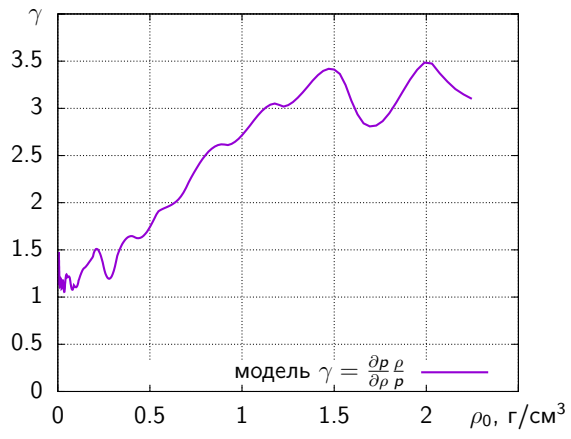
3.9 Гексонитростильбент

Параметры детонации Чепмена-Жуге в зависимости от начальной плотности заряда ($C_{14}H_6N_6O_{12}$).



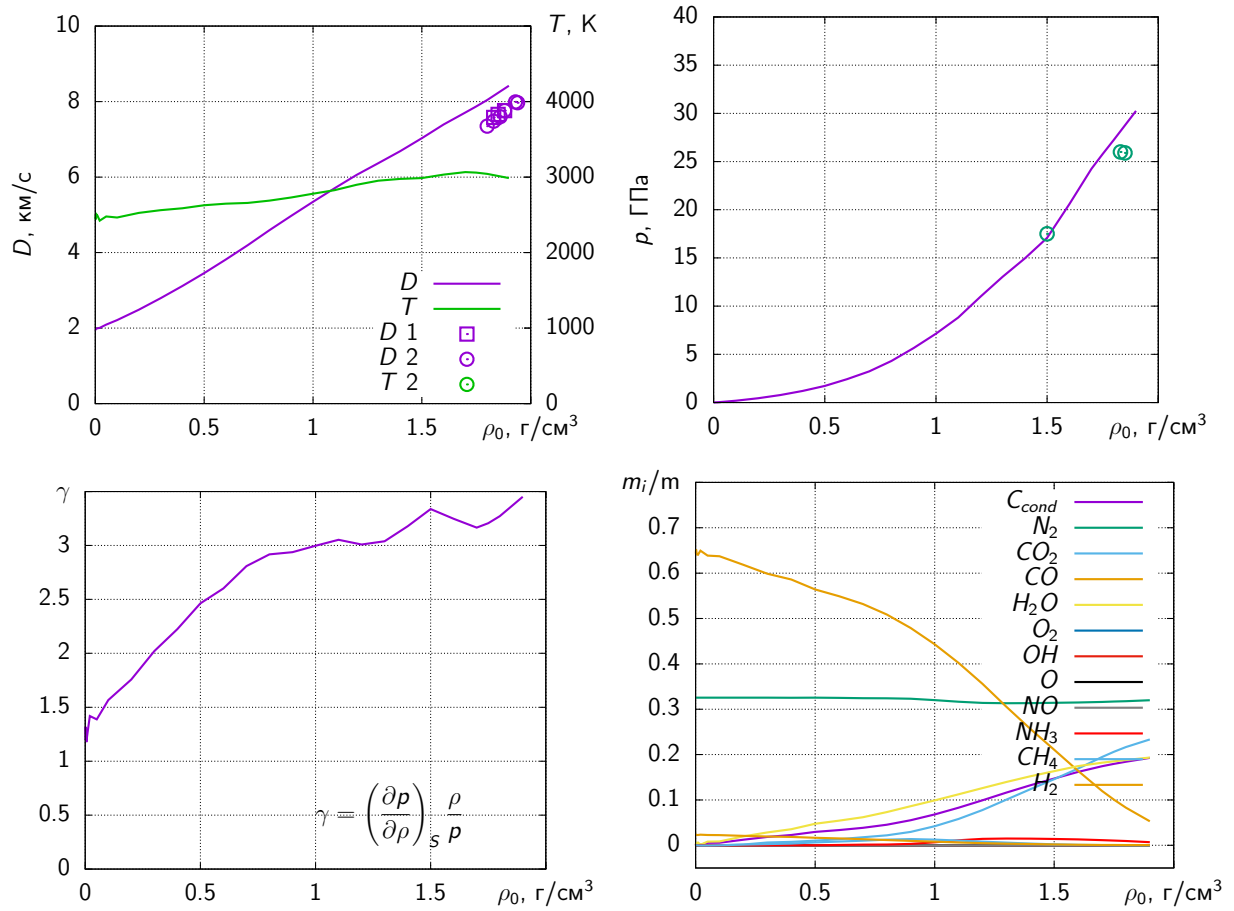
Параметры адиабаты разгрузки продуктов детонации вв с начальной плотностью 1.7 г/см³.



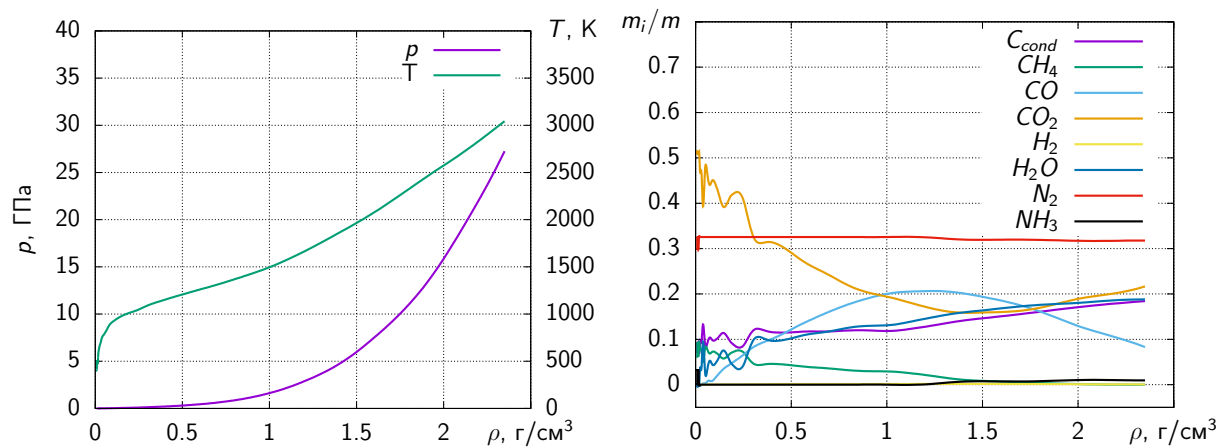


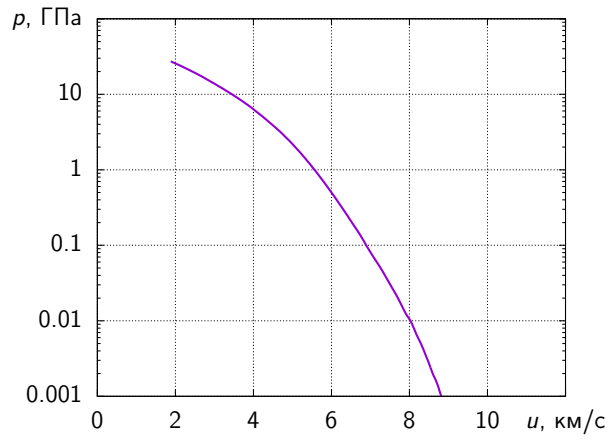
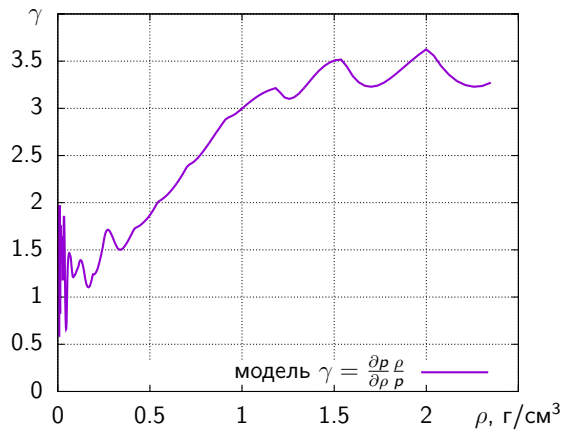
3.10 Татб

Параметры детонации Чепмена-Жуге в зависимости от начальной плотности заряда ($C_6H_6N_6O_6$).



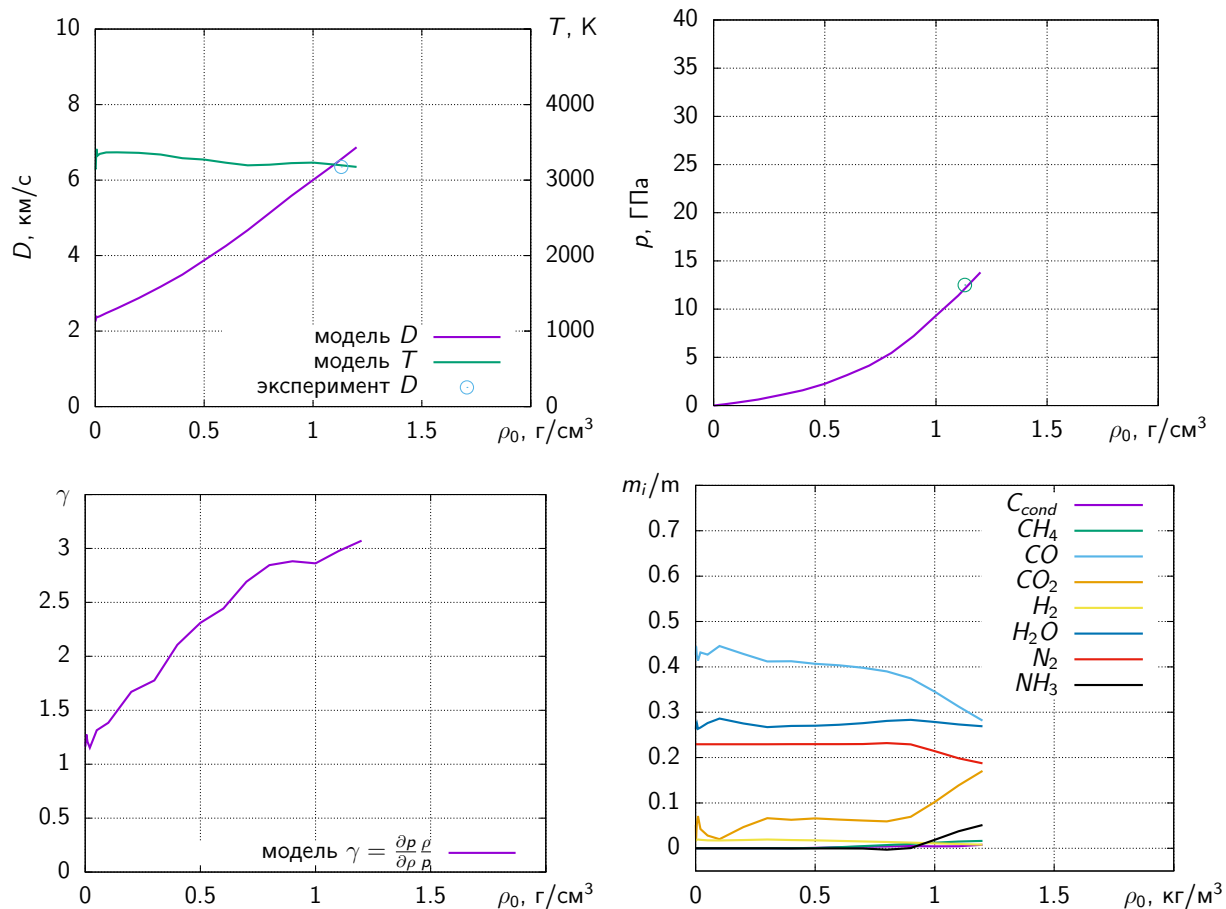
Параметры адиабаты разгрузки продуктов детонации татб с начальной плотностью 1.80 г/см³.



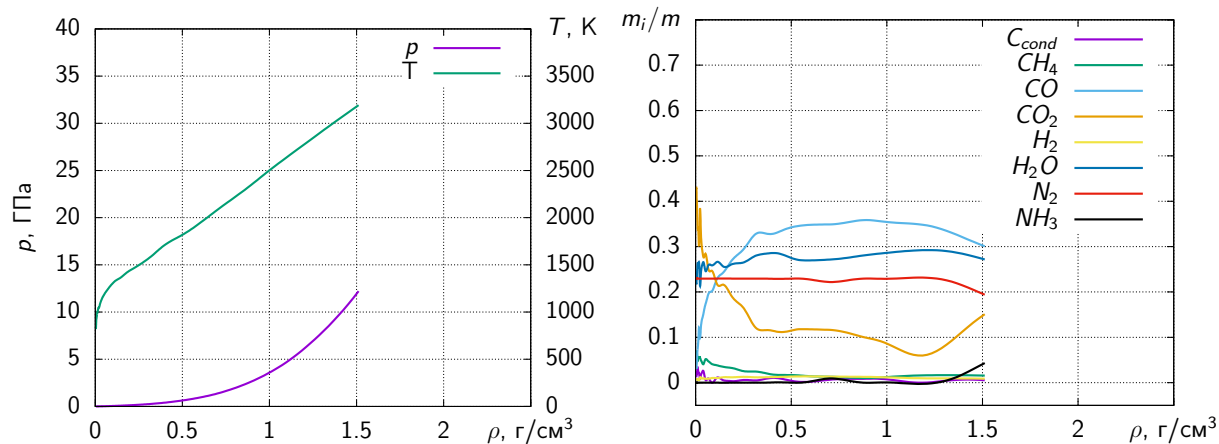


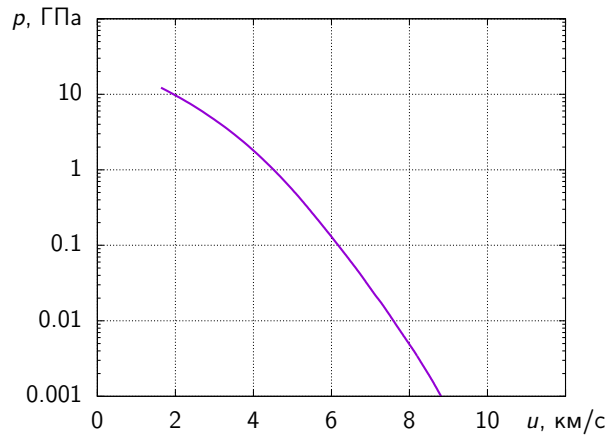
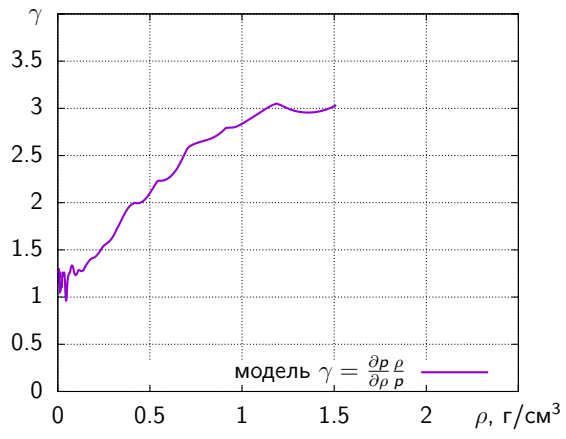
3.11 Нм

Параметры детонации Чепмена-Жуге в зависимости от начальной плотности заряда нитрометана (CH_3NO_2).



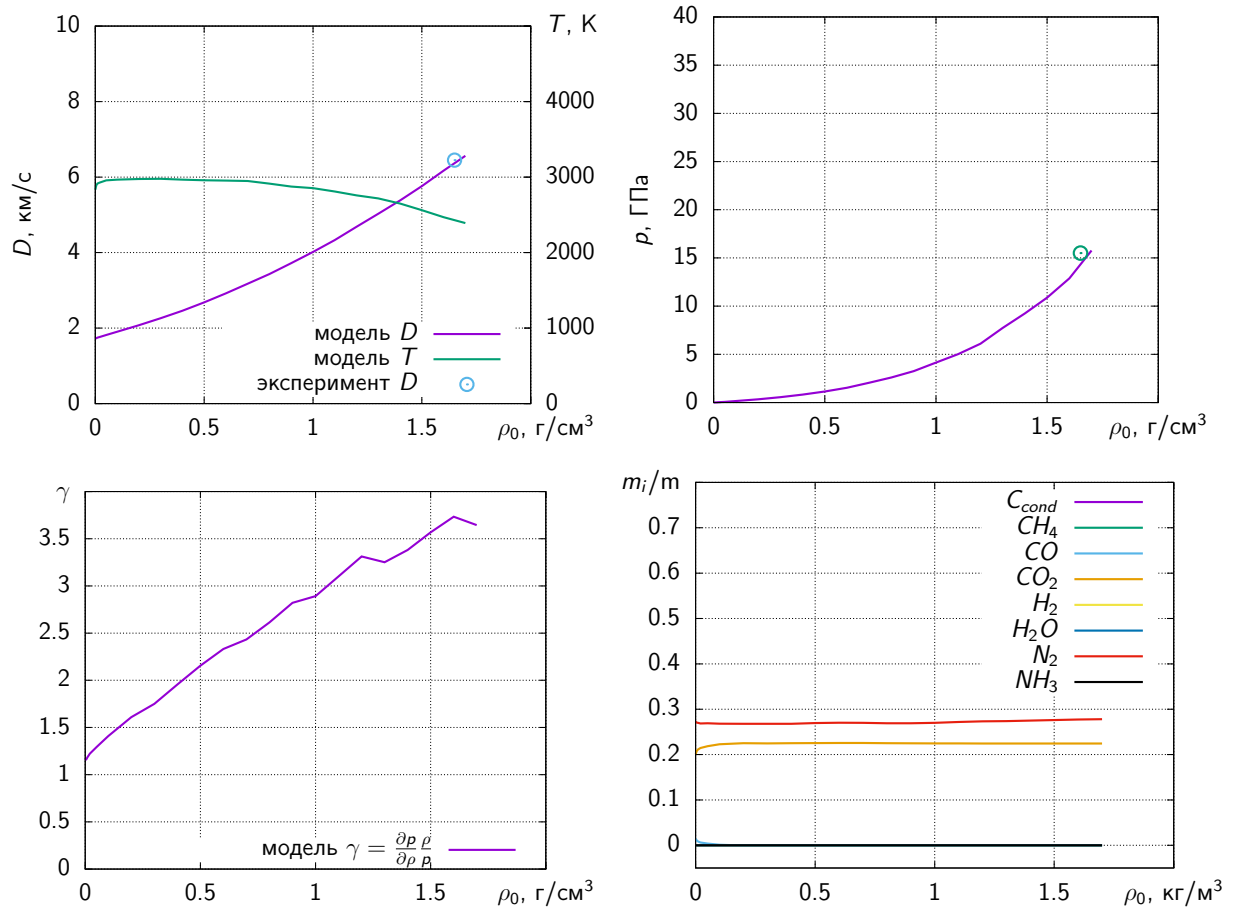
Параметры адиабаты разгрузки продуктов детонации нм с начальной плотностью 1.137 г/см³.



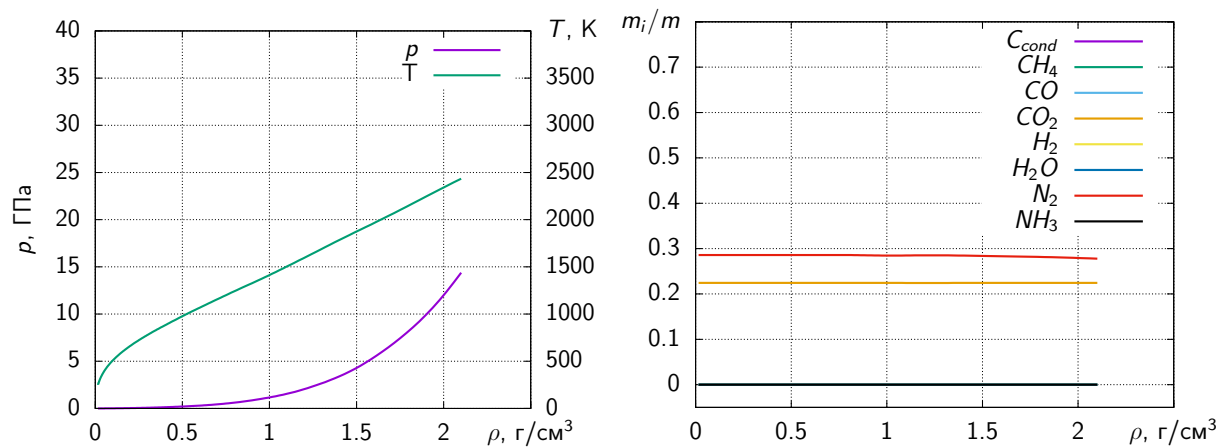


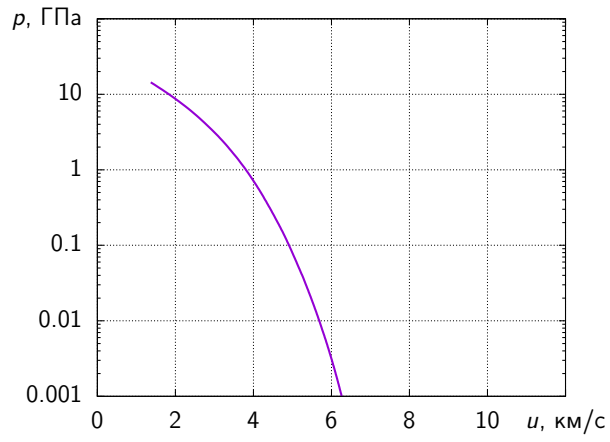
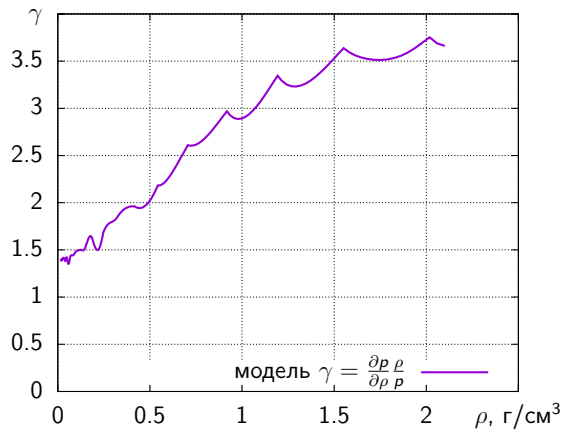
3.12 ТНМ

Параметры детонации Чепмена-Жуге в зависимости от начальной плотности заряда (CN_4O_8).



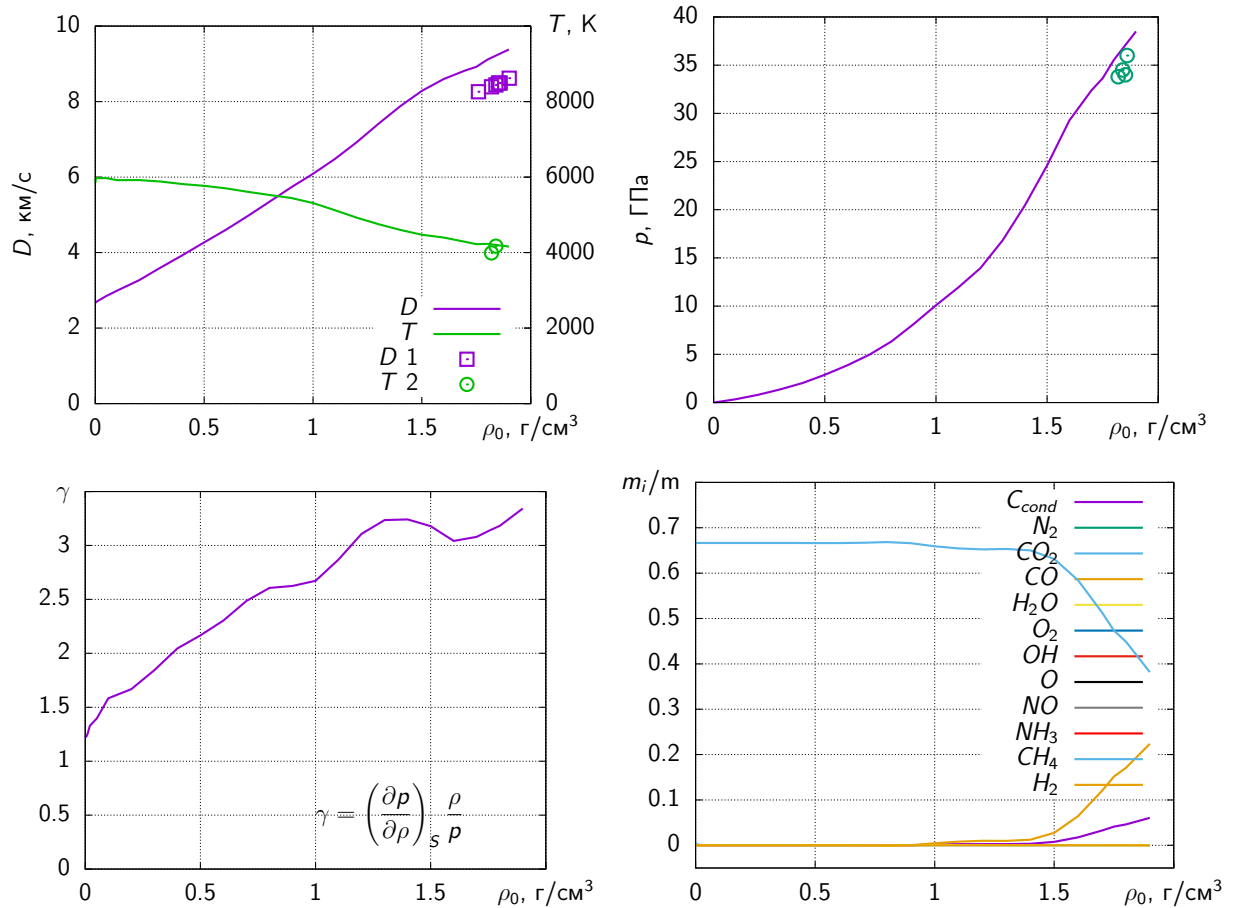
Параметры адиабаты разгрузки продуктов детонации тнм с начальной плотностью 1.65 г/см³.



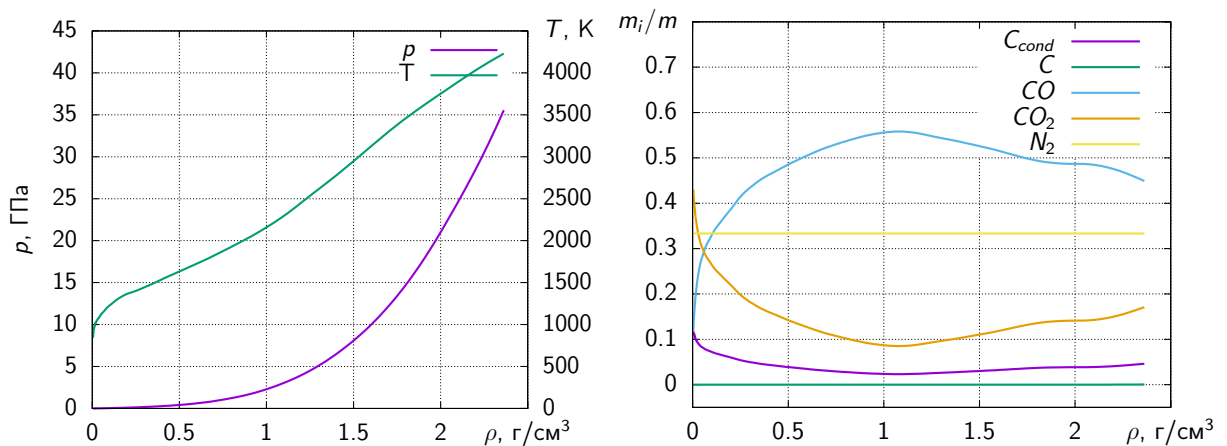


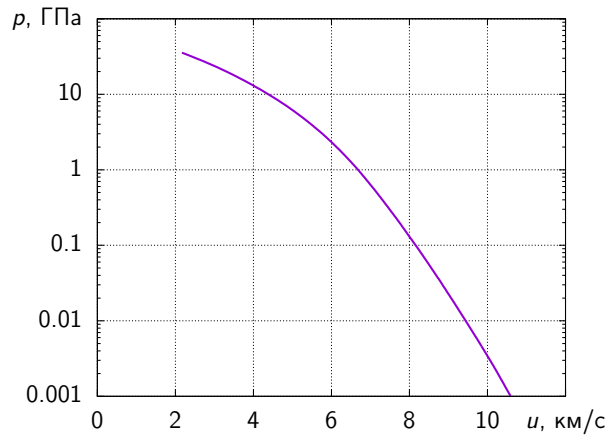
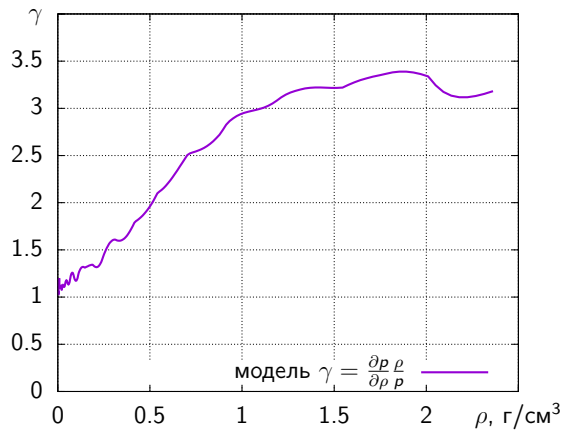
3.13 Бтф

Параметры детонации Чепмена-Жуге в зависимости от начальной плотности заряда ($C_6N_6O_6$).



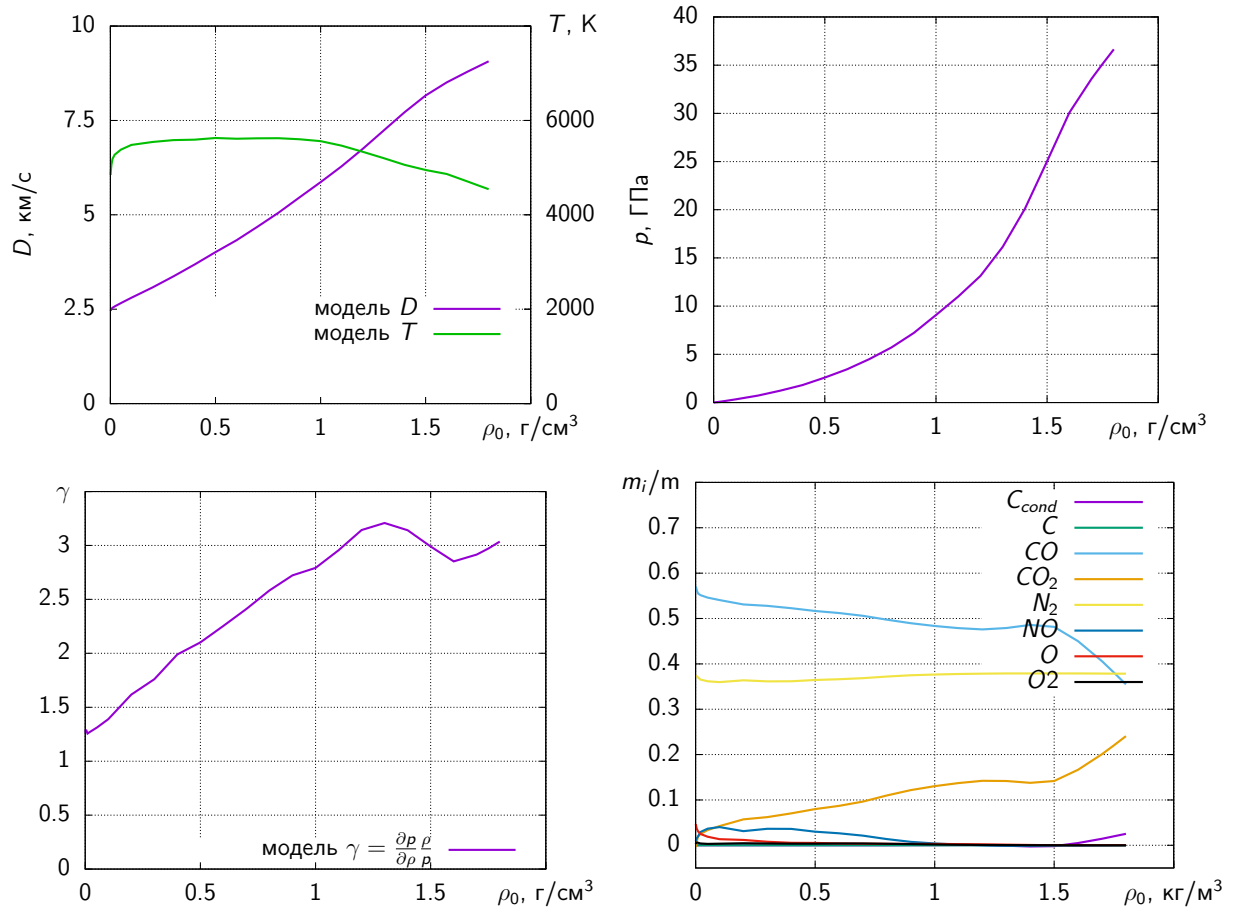
Параметры адиабаты разгрузки продуктов детонации бтф с начальной плотностью 1.8 г/см³.



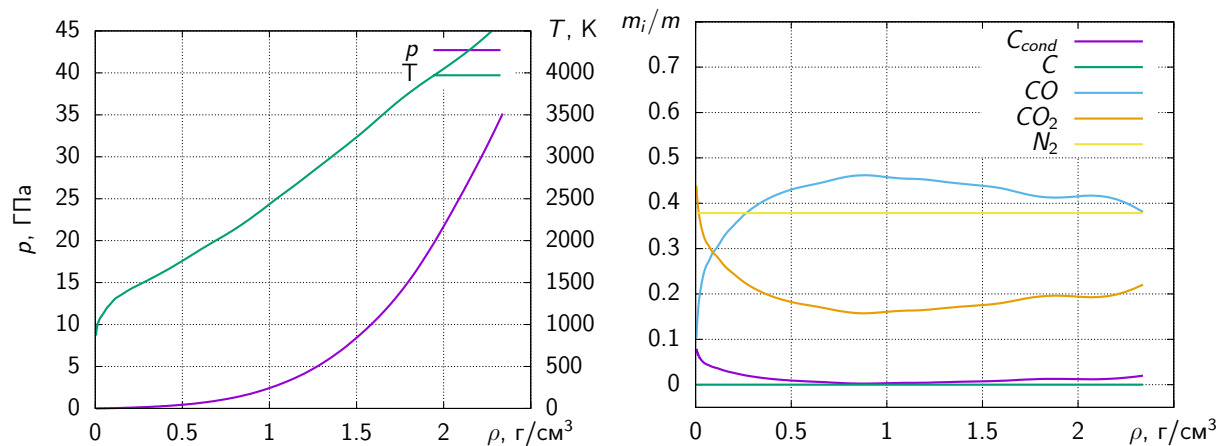


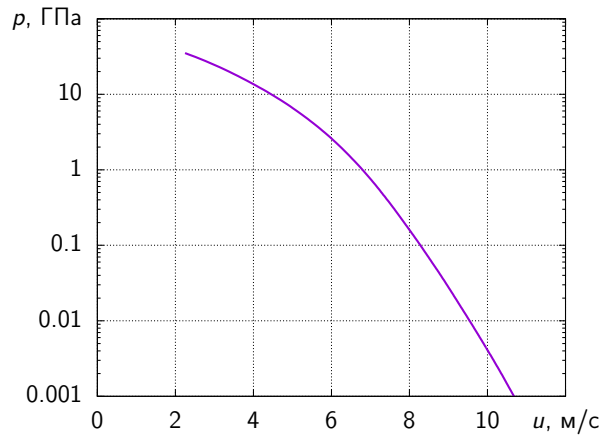
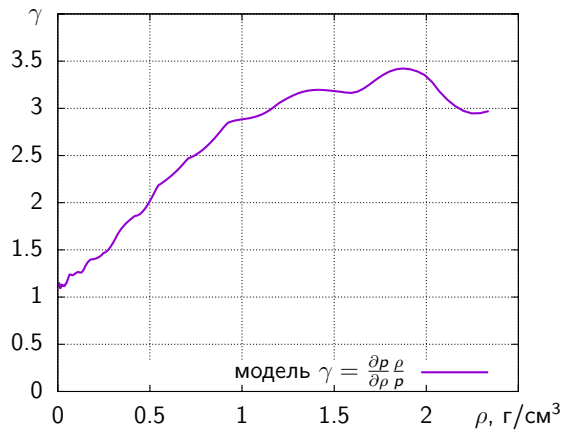
3.14 ДНТФ

Параметры детонации Чепмена-Жуге в зависимости от начальной плотности заряда ДНТФ ($C_6N_8O_7$).



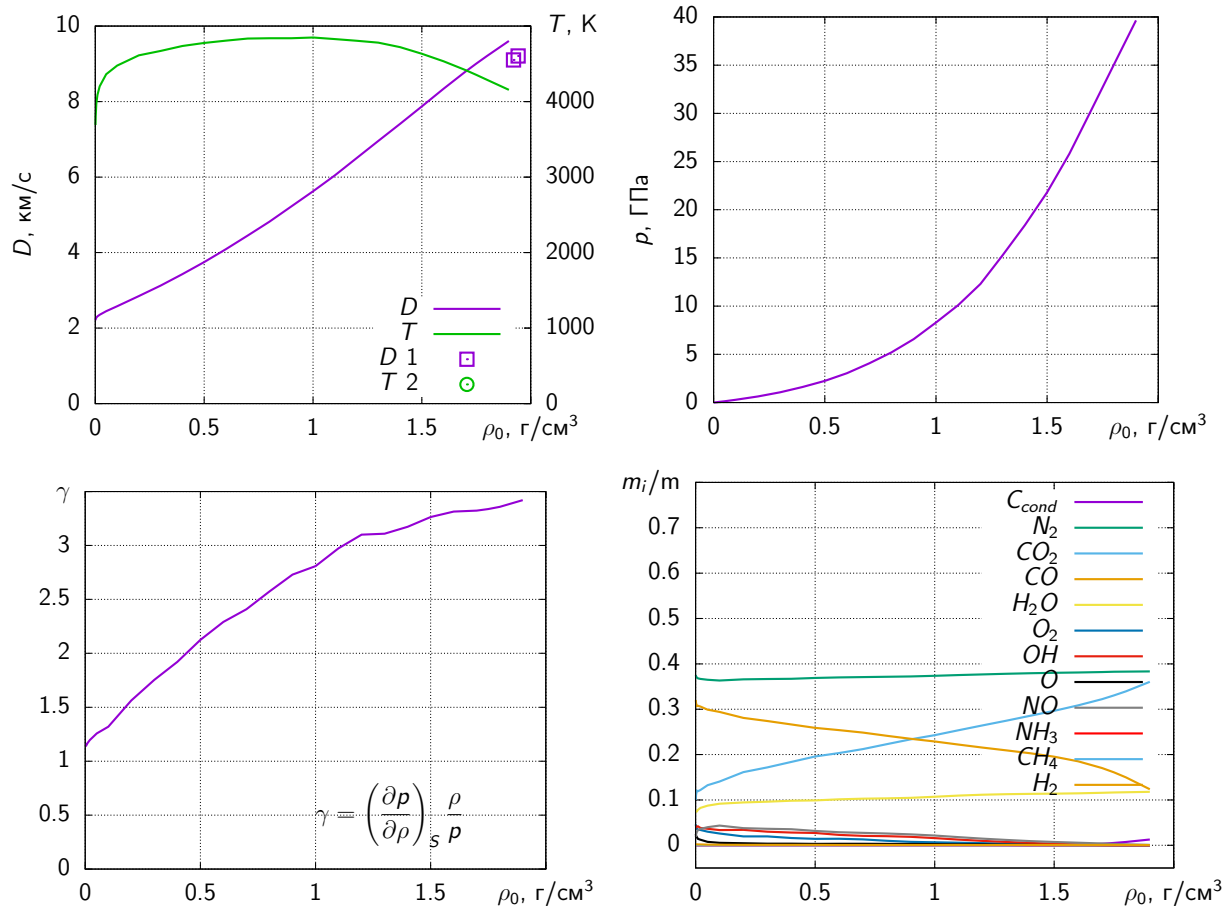
Параметры адиабаты разгрузки продуктов детонации ДНТФ с начальной плотностью 1.75 г/см³.



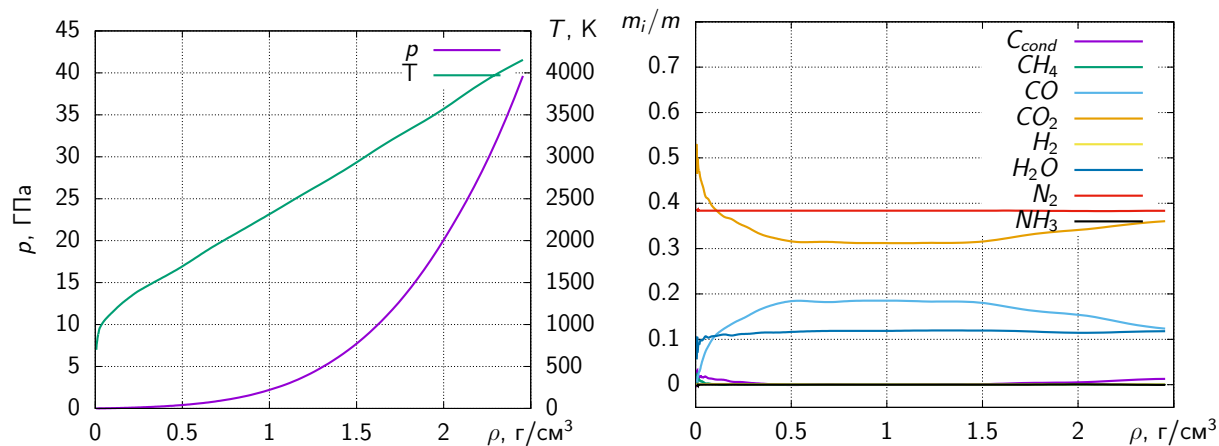


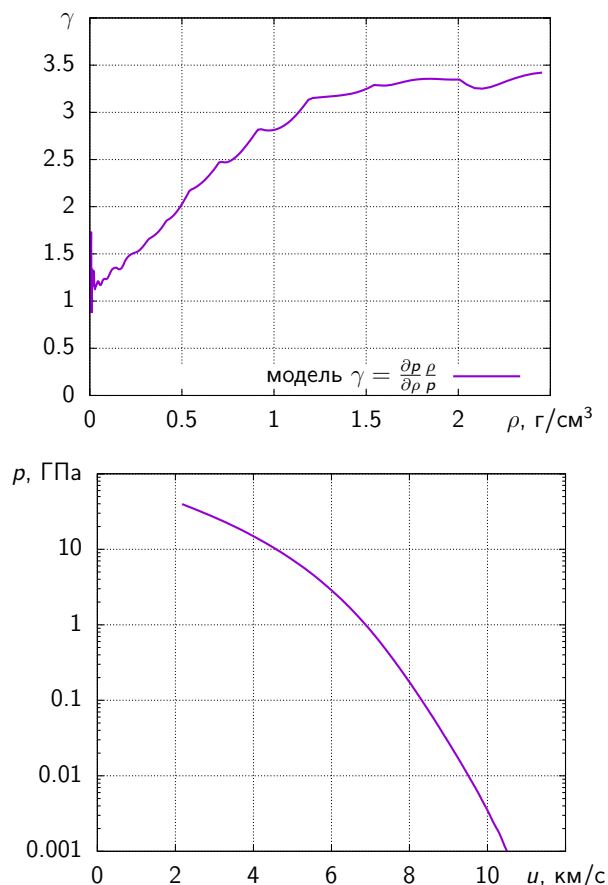
3.15 CL-20, ГНИВ, HNIW

Параметры детонации Чепмена-Жуге в зависимости от начальной плотности заряда ($C_6H_6N_{12}O_{12}$).



Параметры адиабаты разгрузки продуктов детонации cl-20 с начальной плотностью 1.9 г/см³.





Список литературы

1. *Linstrom P. J., Mallard W. G.* NIST Chemistry WebBook, NIST Standard Reference Database Number 69 [Электронный ресурс]. — DOI: [10.18434/T4D303](https://doi.org/10.18434/T4D303). — URL: <https://webbook.nist.gov/chemistry>.
2. *Olijnyk H.* High pressure x-ray diffraction studies on solid N_2 up to 43.9 GPa // The Journal of Chemical Physics. — 1990. — Т. 93, № 12. — С. 8968–8972. — DOI: [10.1063/1.459236](https://doi.org/10.1063/1.459236).
3. High P-T transformations of nitrogen to 170 GPa / E. Gregoryanz [и др.] // The Journal of Chemical Physics. — 2007. — Т. 126, № 18. — С. 184505. — DOI: [10.1063/1.2723069](https://doi.org/10.1063/1.2723069).
4. *Bushman A. V., Lomonosov I. V., Khishchenko K. V.* Shock Wave DataBas [Электронный ресурс]. — URL: www.ihed.ras.ru/rusbank (дата обр. 16.09.2021).
5. Equation-of-state, shock-temperature, and electrical-conductivity data of dense fluid nitrogen in the region of the dissociative phase transition / W. J. Nellis [и др.] // The Journal of Chemical Physics. — 1991. — Т. 94, № 3. — С. 2244–2257. — DOI: [10.1063/1.459895](https://doi.org/10.1063/1.459895).
6. *Winey J. M., Gupta Y. M.* Complete equation of state for shocked liquid nitrogen: Analytical developments // The Journal of Chemical Physics. — 2016. — Т. 145, № 5. — С. 054504. — DOI: [10.1063/1.4959770](https://doi.org/10.1063/1.4959770).

7. *Ross M., Ree F. H.* Repulsive forces of simple molecules and mixtures at high density and temperature // The Journal of Chemical Physics. — 1980. — Т. 73, № 12. — С. 6146–6152. — DOI: [10.1063/1.440106](https://doi.org/10.1063/1.440106).
8. The dissociation and equation of state of dense fluid oxygen at high pressures and high temperatures / Q. F. Chen [и др.] // The Journal of Chemical Physics. — 2008. — Т. 128, № 10. — С. 104512. — DOI: [10.1063/1.2837480](https://doi.org/10.1063/1.2837480).
9. *Зубарев В. Н., Телегин Г. С.* Ударная сжимаемость жидкого азота и твердой углекислоты // Доклады Академии наук. — 1962. — Т. 142, № 2. — С. 309–312.
10. *Liu L.-g.* Compression and phase behavior of solid CO_2 to half a megabar // Earth and Planetary Science Letters. — 1984. — Т. 71, № 1. — С. 104–110. — ISSN 0012-821X. — DOI: [10.1016/0012-821X\(84\)90056-6](https://doi.org/10.1016/0012-821X(84)90056-6). — URL: <https://www.sciencedirect.com/science/article/pii/0012821X84900566>.
11. Equation of state of shock-compressed liquids: Carbon dioxide and air / W. J. Nellis [и др.] // The Journal of Chemical Physics. — 1991. — Т. 95, № 7. — С. 5268–5272. — DOI: [10.1063/1.461665](https://doi.org/10.1063/1.461665).
12. *Schott D. G. L.* Shock-compressed carbon dioxide: Liquid measurements and comparisons with selected models // High Pressure Research. — 1991. — Т. 6, № 3. — С. 187–200. — DOI: [10.1080/08957959108203209](https://doi.org/10.1080/08957959108203209).
13. Ab initio based equation of state of dense water for planetary and exoplanetary modeling / S. Mazevet [и др.] // Astronomy and Astrophysics. — 2019. — Т. 621. — A128. — DOI: [10.1051/0004-6361/201833963](https://doi.org/10.1051/0004-6361/201833963).
14. *Bordzilovskii S., Karakhanov S., Khishchenko K.* Thermal Radiation from Water behind the Reflected Shock Wave // Combust Explos Shock Waves. — 2018. — Т. 54, № 6. — С. 712–719. — DOI: [0.15372/FGV20180611](https://doi.org/0.15372/FGV20180611).
15. The temperature of shock-compressed water / G. A. Lyzenga [и др.] // The Journal of Chemical Physics. — 1982. — Т. 76, № 12. — С. 6282–6286. — DOI: [10.1063/1.443031](https://doi.org/10.1063/1.443031).